| 3 211.20 | OM.1/TPT | 2.Periodo dezembro 1975 | 4.Critério de Distri- buição: |
|---|----------|--|----------------------------------|
| 3.Palavras Chave (selecionadas pelo autor) E-ESPORÁDICA, ANOMALIA GEOMAGNÉTICA, TEORIA DOS VENTOS DE CISALHAMENTO | | | interna X |
| 5.Relatório nº INPE-800-TPT/020 | 6.Data | lezembro de 1975 | 7. Revisado por - M. A. Abdu |
| 8.Título e Sub-Título PRECIPITAÇÃO DE PARTÍCULAS E EFEITOS IONOSFÉRICOS ASSOCIADOS NA REGIÃO DA ANOMALIA GEOMAGNÉTICA BRASILEIRA | | 9. Autorizado por - Jack Fernando de Mendonça Diretor | |
| 10.Setor CEA-GEO | | Codigo 4.01.2 | > |
| | | | 14.Nº de páginas - 10 |
| 13.Assinatura Responsãv | £ | | 15.Preço |

Aprovada pela Banca Examinadora em cumprimento dos requisitos exigidos para a obtenção do Título de Mestre em Ciência Espacial e da Atmosfera

| Dr.Ricardo A.R.Palmeira | Ricardo a. R. Palmeina |
|-------------------------|------------------------|
| | Presidente |
| Dr.M.A.Abdu | monetu |
| Dr.Ivan Jelinek Kantor | - Paulau Orientador |
| | Membro da Banca |
| Dr.N.B.Trivedi | N. b. Trivedi |
| | Membro da Banca |
| | |
| Inez Staciarini Batista | Luzstacianin Botisla |
| | Candidato |

São José dos Campos, 05 de dezembro de 1975

DEDICATORIA

A meus pais Ismael e Isabel

- a meu esposo Paulo
- a minha filha Paula Cristina

INDICE

| SUMÁRIO | ٧ |
|---|-----|
| ABSTRACT | vii |
| LISTA DE SÍMBOLOS | ix |
| LISTA DE FIGURAS | хi |
| LISTA DE TABELAS | χV |
| CAPITULO I | |
| INTRODUÇÃO | 1 |
| 1.1 - Movimento de ciclotron | |
| 1.2 - Movimento do longo de uma linha de campo | 3 |
| 1.3 - Movimento de "drift" | 5 |
| 1.4 - Fontes e perdas de particulas | 7 |
| 1.5 - Anomalia Geomagnética Brasileira | 11 |
| 1.6 - Deteção de partículas carregadas precipitadas na região da | |
| Anomalia Geomagnética Brasileira | 14 |
| CAPITULO II | |
| ANĀLISE DOS PARĀMETROS DA CAMADA E _s | 19 |
| CAPITULO III | |
| CAMADA E ESPORADICA E PRECIPITAÇÃO DE PARTICULAS | 41 |
| 3.1 - Introdução | 41 |
| 3.2 - Ionização da região \underline{E} da ionosfera por elétrons | |
| energēticos | 41 |
| 3.3 - Formação da camada <u>E</u> esporadica | 50 |

| CAPITULO IV | |
|---|-----|
| CONCLUSÕES | 77 |
| AGRADECIMENTOS | 81 |
| BIBLIOGRAFIA | 83 |
| APENDICE A | |
| TIPOS DE E _s | A.1 |
| APÉNDICE B | |
| PERFIL DE DENSIDADE ELETRÔNICA PARA OS CASOS COM O TERMO DE | |
| EXCESSO DE RECOMBINAÇÃO NULO E INFINITESIMAL | в.1 |

SUMÁRIO

O objetivo do presente estudo é examinar a importância da io nização durante tempo quieto devido a particulas carregadas precipitadas na região E sobre a Anomalia Geomagnética Brasileira. Foram usados dados ionosonda para a camada E esporádica obtidos em São José dos Campos (23012'S, 45051'W) e Cachoeira Paulista (22042'S, 45001'W) para alguns ses no período 1973-71. Desde que o efeito de particulas precipitadas tempo quieto, durante o dia, é superado pela ionização devido à radiação so lar, restringimos nosso estudo principalmente aos dados à noite. Abordare mos o problema examinando, com valores críticos, se é necessária uma fonte de ionização noturna, diferente daquelas atualmente reconhecidas para bai xas latitudes, para explicar nossos resultados para a camada E esporádica à noite. No capitulo II apresentamos os resultados da análise de alguns pa râmetros da camada $\mathbf{E}_{_{\mathcal{E}}}$. Vimos que a frequência de ocorrência de $\mathbf{E}_{_{\mathbf{S}}}$ à noite nessa região é muito alta em comparação com resultados existentes de esta ções em latitudes médias. No capitulo III calculamos a taxa de produção de pares de ions devido a elétrons precipitados para vários espectros de ener gia de eléctrons baseados em medidas de satélites. Essas taxas de produção $s ilde{a}$ o usadas para calcular perfis de densidade eletr $ilde{o}$ nica de camadas E $_s$ usa \underline{n} do a teoria da redistribuição de ionização por ventos neutros (ou dos ventos de cisalhamento). São calculados vários perfis para valores di ferentes de vento de cisalhamento neutro, coeficiente de recombinação, es pectro de energia dos eléctros. A densidade do pico das camadas obtidas são comparadas com a frequência de "blanketing" observada para a camada $E_{\bf s}$. É feita então uma discussão nas restrinções dos vários parâmetros a fim de de terminar um limite mínimo no fluxo de elétrons necessário para explicar os resultados observados, baseado no mecanismo dos ventos de cisalhamento. Es te fluxo mínimo encontrado é

 $J=1,6548 \exp (-E/20) \text{ eléctrons/cm}^2.s.\text{ster.keV}.$

ABSTRACT

The purpose of the present study is to examine the significance of quiet time ionization due to charged particle precipitation in the E-region over Brazilian Geomagnetic Anomaly. Ionosonde data of the sporadic E layer obtained for São José dos Campos (23º12'S, 45º51'W) and Cachoeira Paulista (22042'S, 45001'W) for a few months during the period 1973-74, have been used in the present study. Since the quiet daytime effect due to particle precipitation is swamped by the ionization due to solar radiation, we have confined our study mainly to night-time data. Our aproach will be to examine critically, if a night-time ionization source other than those presently recognized for a low latitude station is necessary to explain our night-time sporadic E layer results. In chapter II we present the results of our analysis of some $\mathbf{E}_{\mathbf{S}}$ parameters. We see that the frequency of occurrence of $\mathbf{E}_{\mathbf{s}}$ at night in this region is very high as compared with the available results for temperate latitude stations. In chapter III we have calculated the ion pair production rate due to electron precipitation for several electron energy spectral shapes based on available satellites measurements. Those production rates are used to derive electron density profiles of E layers using the theory of redistribution of ionization by neutral winds (or the wind shear theory). Several such profiles are computed for different values of the neutral wind shear, recombination coefficient, electron energy spectra, and the peak layer densities so derived are compared with the observed blanketing frequency

of the layer. A discussion is then carried out on the constraints of the various parameters in order to determine a lower limit on the electron flux needed to explain the observed $E_{\rm g}$ results, based on the wind shear mechanism. This minimum flux is found to be $J=1,6548 \exp{(-E/20)} \ {\rm electrons/cm^2.s.ster.keV.}$

LISTA DE SÍMBOLOS

- e carga de uma partícula
- m massa da partícula
- E vetor campo elétrico
- B vetor campo magnético
- F forças externas não eletromagnéticas
- c velocidade da luz
- r vetor posição da partícula
- vetor velocidade da partícula
- período de rotação de uma partícula carregada em torno das linhas de campo magnético
- R_c raio de giro de uma partícula carregada em torno das linhas de campo magnético
 - γ ângulo de inclinação (pitch) da partícula
- μ momento magnético e primeiro invariante adiabatico
- · I invariante longitudinal ou 20 invariante adiabatico
- v_n velocidade de "drift"
- B_M valor do campo magnético terrestre na altura de reflexão da part<u>í</u>
 cula
- J fluxo de partículas
- E_s camada \underline{E} esporadica
- f_t frequência de topo da camada E_s
- f_b frequência de"blanketing"da camada E_s

N - densidade numérica de eletrons

No - densidade numérica de elétrons no equilibrio

q - taxa de produção

α - coeficiente de recombinação

D - coeficiente de difusão

V - velocidade de "drift" dos ions induzida pelo vento neutro

V - amplitude da velocidade V

T - temperatura

z - direção vertical

λ - comprimento de onda vertical

U - amplitude da velocidade do vento zonal

 E_{o} - energia característica do fluxo

LISTA DE FIGURAS

| FIGURA | 1.1 - | Movimento de uma particula positivamente carregada | |
|--------|--------|--|--------|
| | | em torno de uma linha de campo magnético | 2 |
| FIGURA | I.2 - | Movimento de uma partícula carregada no campo | |
| | | geomagnético | 6 |
| FIGURA | 1.3 - | Contornos de isointensidades constantes do campo | |
| | | geomagnético total | 13 |
| FIGURA | I.4 - | a) Trajetoria de alguns pontos de reflexão para | |
| | | L = 2,2 | 15 |
| | | b) Diminuição do fluxo de particulas nos pontos de | e u |
| | | reflexão que atingem a baixa atmosfera na Anomalia | |
| | | Magnética Brasileira | 15 |
| FIGURA | 11.1 - | Tipos de camada E esporadica que ocorrem em | |
| | | Cachoeira Paulista | 20 |
| FIGURA | II.2 - | Frequências de ocorrência e frequências médias de | |
| | | E _s para o mês de março, 1973 | 22 |
| FIGURA | II.3 - | Frequências de ocorrência e frequências médias de ${\rm E_S}$ | |
| | | para o mês de abril, 1973 | 23 |
| FIGURA | 11.4 - | Frequências de ocorrência e frequências médias de E _s | |
| | | para o mês de maio, 1973 | 24 |
| FIGURA | II.5 - | Frequências de ocorrências e frequências médias de ${\rm E_S}$ | |
| | | para o mês de outubro 1973 | 25 |

| FIGURA | II.6 - | Frequências de ocorrência e frequências médias de | |
|--------|---------|--|----|
| | | E _s para o mes de novembro, 1973 | 26 |
| FIGURA | II.7 - | Frequências de ocorrência e frequências médias | |
| | | de E _s para o mês de dezembro, 1973 | 27 |
| FIGURA | 11.8 - | Frequências de ocorrência e frequências médias de E _s | |
| | | para os meses março, abril e outubro, | |
| | | 1973 (equinocio) | 30 |
| FIGURA | II.9 - | Frequências de ocorrência e frequências medias de ${\sf E_S}$ | |
| | 10X | para os meses novembro, dezembro, 1973 e janeiro, | |
| | | 1974 (verão) | 31 |
| FIGURA | 11.10 - | Comparação da frequência de ocorrência da camada ${\rm E_S}$ | |
| | | no verão em Cachoeira Paulista com outras | |
| | | localidades | 32 |
| FIGURA | 11.11 - | Frequências de ocorrência e frequências medias de ${\rm E_S}$ | |
| | | para os 5 dias mais calmos de março, abril e | |
| | | outubro, 1973 | 35 |
| FIGURA | II.12- | Frequências de ocorrência e frequências médias de ${\rm E_s}$ | |
| | | para os 5 dias mais calmos de novembro, dezembro, | |
| | | 1973 e janeiro, 1974 | 36 |
| FIGURA | II.13 - | Frequências de topo (f _t) e frequências de | |
| | | "blanketing" (f _b) da camada E _s em dias | |
| | | perturbados | 38 |
| FIGURA | 11.14- | Ionogramas mostrando a camada E _s em um dia de | |
| | | tampostado magnótica | 39 |

| FIGURA | 111.1 - | Função de distribuição de dissipação de energia | |
|--------|---------|---|----|
| | | (normalizada) para feixe de elétrons incidentes | |
| | | com distribuição isotrópica (0-80°) | 42 |
| FIGURA | III.2 - | Taxa de produção por unidade de volume, por | |
| | | fluxo unitário de eletrons incidentes, com | |
| | | energia inicial entre 1 e 300 keV | 45 |
| FIGURA | III.3 - | Taxa de produção por unidade de volume para um | |
| | | fluxo dado de eletrons | 49 |
| FIGURA | III.4 - | Perfis de densidade eletrônica usando taxas de | |
| | | produção calculadas | 51 |
| FIGURA | III.5 - | Processo de formação de uma camada E _s pela teoria | |
| | | dos ventos de cisalhamento | 52 |
| FIGURA | III.6 - | Densidade eletrônica máxima de uma camada E com | |
| | | picos em varias alturas, para diferentes valores dos | |
| | | parametros λ e α | 67 |
| FIGURA | III.7 - | Perfil de densidade eletrônica da camada E_s | 73 |
| FIGURA | III.8 - | Variação da densidade eletrônica máxima da camada | |
| | | E com a velocidade do vento neutro | 74 |



LISTA DE TABELAS

| TABELA III.1 | III.1 - | Altura de ionização máxima para diferentes valores | |
|--------------|---------|---|----|
| | | de energias de eletrons precipitados na | |
| | | atmosfera | 46 |
| TABELA | III.2 - | Densidade eletrônica máxima da camada E _s usando | |
| | | taxa de produção dada por Swider (1969) para | |
| | | velocidade do vento neutro 100 m/s | 69 |



CAPITULO I

INTRODUÇÃO

A possibilidade de que uma partícula carregada em movimento em um campo magnético estático, de dipolo, possa permanecer indefinidamen te neste campo, foi descoberta por Stormer, em 1907. Embora a solução da equação do movimento dessa partícula seja bastante complexa, é possível usar uma solução aproximada, dividindo o movimento em três compenentes sim ples:

- b) movimento para frente e para tras ao longo de uma linha de campo magnético;
- c) movimento de "drift", que e um movimento periodico ao longo de uma superficie fechada, feita de linhas de campo magnético.

A equação geral do movimento de uma partícula carregada é dada por:

$$\frac{d}{dt} \left(m \frac{d\vec{r}}{dt} \right) = e \left(\vec{E} + \frac{1}{c} \frac{d\vec{r}}{dt} \times \vec{B} \right) + \vec{F}$$
 (I.1)

onde:

e = carga da partícula

m = massa da partícula

E = campo eletrico

B = campo magnético

F = força externa, não eletromagnética

1.1 - MOVIMENTO DE CICLOTRON

Uma partícula com velocidade \vec{v} , na presença de um campo mag nético estático \vec{B} , com componente de \vec{v} perpendicular a \vec{B} , executa um movimento helicoidal em torno da linha de campo (Figura I.1).

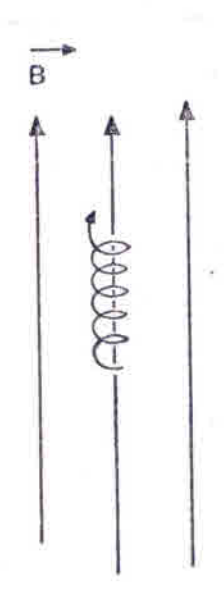


Fig. I.1 - Movimento de uma partícula positivamente carregada em torno de uma linha de campo magnético.

O período de rotação em torno das linhas de campo e o raio de giro da partícula são dados, respectivamente por:

$$\tau_{C} = \frac{2\pi \text{ mc}}{eB} \tag{I.2}$$

$$R_{C} = \frac{mcv_{\perp}}{eB} = \frac{mcv sen \gamma}{eB}$$
 (1.3)

onde v_{\perp} e a componente da velocidade na direção perpendicular ao vetor cam po magnético \vec{B} e γ e o ângulo entre os vetores velocidade \vec{v} e campo magnético \vec{B} , chamado de "pitch angle" da partícula.

Se o campo magnético não varia muito num tempo da ordem do período de ciclotron e num espaço da ordem do raio de ciclotron, existirão invariantes adiabáticos do movimento. O primeiro \vec{e} a invariância do momento magnético μ

$$\mu = \frac{\frac{1}{2} m v_{\perp}^2}{B} = const.$$
 (1.4)

1.2 - MOVIMENTO AO LONGO DE UMA LINHA DE CAMPO

Uma particula em movimento em um campo magnético \vec{B} , com "pitch angle" diferente de 90° , tem uma componente da velocidade paralela

a direção de B. Assim, alem de girar em torno da linha de campo vai se mo ver também ao longo dela. A configuração do campo magnético terrestre é tal que sua intensidade aumenta à medida que se afasta do equador, em di reção à terra, ao longo de uma linha de campo. Devido à constância do mo mento magnético, a velocidade perpendicular da partícula varia à medida que B varia, e se a energia cinética total da partícula é constante, ob tem-se da Equação I.4 que

$$\frac{-\operatorname{sen}^2 \gamma}{B} = \operatorname{const.} \tag{I.5}$$

Uma partícula em movimento ao longo de uma linha de campo magnético, em direção à terra, está penetrando em regiões onde B está cres cendo, logo $\sin^2\gamma$ também cresce até atingir seu valor máximo, para γ =90°. Neste ponto a velocidade da partícula paralela à linha de campo é nula e a partícula inverte seu movimento, iniciando a volta ao longo da linha de força até encontrar novamente o mesmo valor de B que anule sua velocidade paralela. Os dois pontos onde a partícula se reflete são ditos serem pon tos conjugados de reflexão. Uma partícula nestas condições é dita estar capturada no campo geomagnético e permaneceria assim para sempre se não houvesse perdas.

Associado a este movimento está o segundo invariante adia bático, o invariante integral ou longitudinal, dado por

$$I = \oint mv_{//} d\ell = 2 \int_{\ell_1}^{\ell_2} mv_{//} dl \qquad (I.6)$$

onde a integral e feita entre pontos conjugados de reflexão.

1.3 - MOVIMENTO DE DRIFT

Quando ha uma força alem de \vec{v} x \vec{B} agindo em uma partícula num campo magnetico em uma direção perpendicular ao campo, a partícula so fre um drift perpendicular tanto à força quanto ao campo, com velocidade dada por

$$\vec{v}_D = \frac{\vec{cF}_1 \times \vec{B}}{eB^2} \tag{1.7}$$

onde \vec{v}_D \vec{e} a velocidade de drift da particula \vec{e}_L \vec{e} a componente da força \vec{F} perpendicular a \vec{B} .

No caso do campo magnético da terra havera drifts devido ao gradiente e à curvatura de B, e a velocidade da particula devido a esses drifts sera

$$\vec{v}_{D} = \frac{mc}{2eB^{3}} (v_{\perp}^{2} + 2v_{//}^{2}) \vec{B} \times \nabla B$$
 (1.8)

que depende da carga da particula. Os elétrons viajarão para leste e os protons para oeste.

Associado ao movimento de drift estã o terceiro invariante adiabatico, ou invariante de fluxo, que estabelece que o fluxo magnético através de uma superfície definida pela órbita de drift da partícula é invariante. A Figura I.2 mostra o movimento de uma partícula carregada no campo geomagnético.

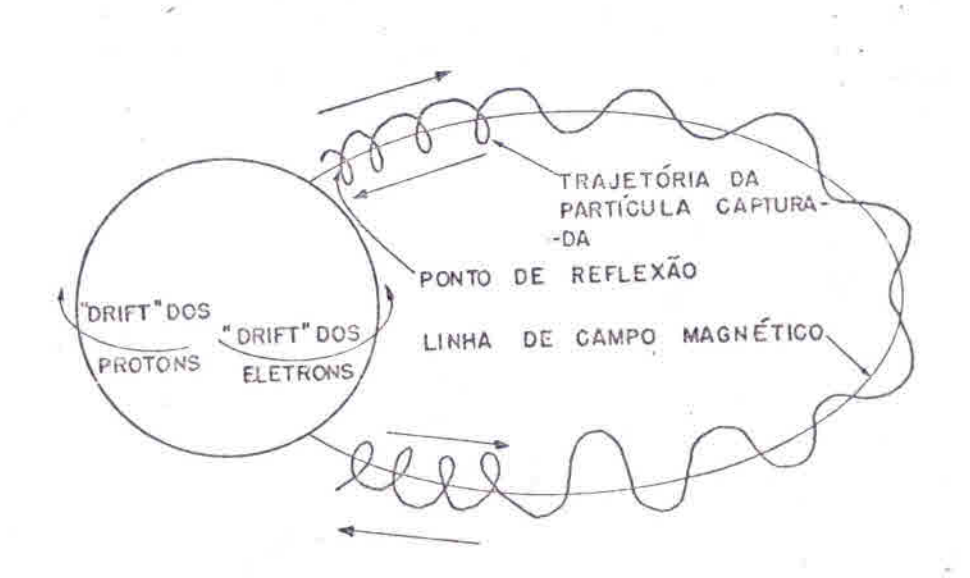


Fig. I.2 - Movimento de uma partíclua carregada no campo geomagnético, separado em três componentes:

1 - Movimento de ciclotron espiralando em torno das linhas de campo; 2 - Movimento para frente e para trãs ao longo da linha de campo;

3 - Movimento de "drift" em torno da terra

1.4 - FONTES E PERDAS DE PARTICULAS

Todos esses conceitos de que o campo magnético da terra pode ria capturar partículas carregadas já eram conhecidos quando foram descober tos intensos fluxos de radiação capturados no campo geomagnético aos quais se deu o nome de cinturões de radiação de Van Allen. Medidas das energias das partículas mostram que os espectros de energia para os protons e os elétrons são diferentes nos cinturões interior e exterior.

Uma partícula uma vez presa no campo magnético da terra, pe la teoria adiabática deveria permanecer aí para sempre. Porém, desde o des cobrimento dos cinturões de radiação que várias experiências vem sendo rea lizadas, as quais mostram que os invariantes adiabáticos nem sempre são con servados, mas variam até mesmo em períodos de baixa atividade do campo mag nético da terra.

A fonte dominante de partículas energéticas nos cinturões de radiação é o vento solar. Embora existam outras possíveis fontes como os raios cosmicos galáticos, mésons-μ produzindo elétrons, componente neutra no vento solar e protons solares, estas são de insignificante importância. Os neutrons, originários da colisão de raios cosmicos geláticos com núcleos de oxigênio e nitrogênio na atmosfera, parecem ser a fonte dominante de partículas do cinturão interno de radiação. Porêm, esses neutrons não constituem a principal fonte de elétrons com energia entre aproximadamente 40 keV e 110 keV (Pizzella et al., 1962).

São vários os mecanismos pelos quais partículas são removidas dos cinturões de radiação. Para os protons hã pelo menos três processos de perda. Protons de alta energia são removidos do cinturão interno de radiação por amortecimento devido a colisões com constituintes atmosféricos, até que atinjam uma energia de aproximadamente 100 keV. Abaixo dessa energia o principal processo de perda $\bar{\rm e}$ a "troca de carga" com protons lentos pela reação p+H \rightarrow p+H onde a barra refere-se $\bar{\rm a}$ partícula rápida.

Acima de 200 ou 300 keV as colisões nucleares inelásticas são mais importantes como processo de perda de protons. No cinturão externo de radiação protons são rapidamente perdidos por processos adicionais, entre os quais figura, provavelmente, a violação de um dos invariantes adiabaticos, que pode causar difusão do "pitch angle". Este tipo de difusão espalha e mistura a distribuição dos pontos de reflexão das partículas ao longo das linhas de campo e e um dos principais mecanismos através do qual partículas capturadas são dirigidas para dentro da região de perda, nas camadas densas da atmosfera. Violações dos invariantes adiabáticos são causadas por variações temporais não adiabáticas do campo magnético ou de forças externas, por interações com ondas eletromagnéticas ou por colisões com o meio ambiente (atmosfera, ionosfera).

Os processos responsáveis pela remoção de eletrons da popu

lação de partículas capturadas são diferentes daqueles para os protons.

Por serem mais leves os elétrons são espalhados mais facilmente para den tro do "cone de perda" devido a colisões coulombianas.

Uma particula carregada, capturada no campo geomagnético, executa o seu movimento de vai e vem ao longo de uma linha de campo, refletindo-se a uma altura na qual o seu "pitch angle" γ é de 90° e o campo magnético local é B_{M} . Sendo ℓ a altura onde termina a atmosfera densa, uma particula que se reflete a essa altura, onde o valor do campo magnético é B_{ρ} , pela Equação I.5 obedecerá:

$$\frac{\operatorname{sen^2} \gamma_0}{B_0} = \frac{\operatorname{sen^2} \gamma_p}{B_p} = \frac{1}{\dot{B}_{\ell}}$$
 (1.9)

onde γ_{o} e B_{o} são os valores do "pitch angle" e do campo magnético no equador, γ_{p} e B_{p} são esses valores em um ponto P qualquer da trajetória.

Assim:

$$sen^2 \gamma_p = \frac{B_p}{B_p} \tag{I.10}$$

 $B=B_{p}, \text{ com "pitch angle" }\gamma<\gamma_{p}, \text{ não se refletirão antes de penetrar na atmosfera densa e, muito provavelmente perderão a maior parte de sua energidades examples a constant de sua energidades examples a constant de sua energidades examples exa$

gia cinética e serão removidas da população de partículas capturadas. Em cada ponto define-se um cone de perda, ou cone de precipitação, cujo eixo \vec{e} o vetor campo geomagnético local \vec{B}_p , e cuja semi-abertura \vec{e} γ_p , dado pe la Equação I.10.

 $0\ conhecimento\ da\ distribuição\ do\ "pitch angle"\ no\ equador,$ $j_o(\cos\ \gamma_o),\ permite\ a\ determinação\ dessa\ distribuição\ em\ qualquer\quad outro$ ponto da linha de campo. O fluxo direcional em um ponto P, está relacionado a j_o pelo Teorema de Liouville para particulas capturadas

$$j_p(\cos \gamma_p) = j_o(\cos \gamma_o) \tag{I.11}$$

0 fluxo em todas as direções \bar{e} obtido a partir do fluxo $d\bar{\underline{i}}$ recional, em função do campo magnético local

$$J(B_{p}) = \frac{4\pi B_{p}}{B_{o}} \int_{0}^{arc sen} \sqrt{\frac{B_{o}}{B_{p}}} \int_{0}^{arc sen} \int_{0}^{arc sen} \sqrt{\frac{B_{o}}{B_{p}}} \int_{0}^{sen \gamma_{o} cos \gamma_{o} d \gamma_{o}} \sqrt{\frac{sen \gamma_{o} cos \gamma_{o} d \gamma_{o}}{1 - \frac{B_{p}}{B_{o}} sen^{2} \gamma_{o}}}$$

$$(1.12)$$

Uma variação do "pitch angle" equatorial da partícula implica numa variação da altura de reflexão e vice-versa. Se o "pitch angle" sofre um espalhamento para um valor γ , menor que o valor anterior γ_0 , a

partícula passa a ser refletida em uma altura mais proxima da superficie da terra. Da mesma forma se \tilde{e} o valor de B que diminui, a partícula tera que se aproximar mais da superficie da terra para atingir o mesmo valor do campo magnético B_{M} , necessário para que inicie a volta ao longo da 1i nha de campo.

A Anomalia Geomagnetica Brasileira desempenha um importante papel na determinação da altura de reflexão e tempos de vida das partículas nesta região.

1.5 - ANOMALIA GEOMAGNÉTICA BRASILEIRA

Durante võos de satélites soviéticos a baixas altitudes em torno da terra foram verificadas distribuições irregulares de radiação em várias regiões geográficas, à mesma altitude de võo. Aumentos na intensi dade de radiação eram observados especialmente sobre a América do Sul. Es tes resultados foram associados com o campo geomagnético real, apresentan do-se uma explicação satisfatória para a distribuição geográfica irregular da radiação.

A representação do campo magnético da terra como um dipolo centrado é apenas uma aproximação grosseira. Melhores resultados são obtidos deslocando-se o dipolo aproximadamente 340 km do centro da terra, em uma direção 6,50N, 1620E. O campo geomagnético real é caracterizado por

uma estrutura muito complexa que da origem a um grande número de anomalias na distribuição da intensidade do campo a baixas altitudes.

A Anomalia Geomagnética Brasileira caracteriza-se pelo valor mínimo da componente total do campo geomagnético, bem sobre a costa leste do Brasil.

Na verdade, o termo anomalia e usado pelo fato de que amaior parte dos geofísicos vivia no hemisferio norte e foi la que foram feitos os primeiros estudos do comportamento geofísico. Como estudos similares so foram iniciados mais tarde no hemisferio sul, qualquer resultado diferente do que era esperado era considerado uma anomalia.

A Figura I.3 mostra contornos de iso-intensidades de campo geomagnético, evidenciando o mínimo sobre a costa leste da América do Sul. Este comportamento particular do campo geomagnético no hemisfério sul cau sa efeitos importantes como o abaixamento do ponto de reflexão das partículas capturadas.

Durante seu drift longitudinal a particula aproxima-se mais da superfície da terra na região da Anomalia, onde a altura de reflexão, para um dado valor de B, e minima. Enquanto que no hemisfério norte os pontos de reflexão estão localizados em alturas onde a atmosfera e tenue, no hemisfério sul esses pontos descem a alturas abaixo de 100 km, onde a atmos

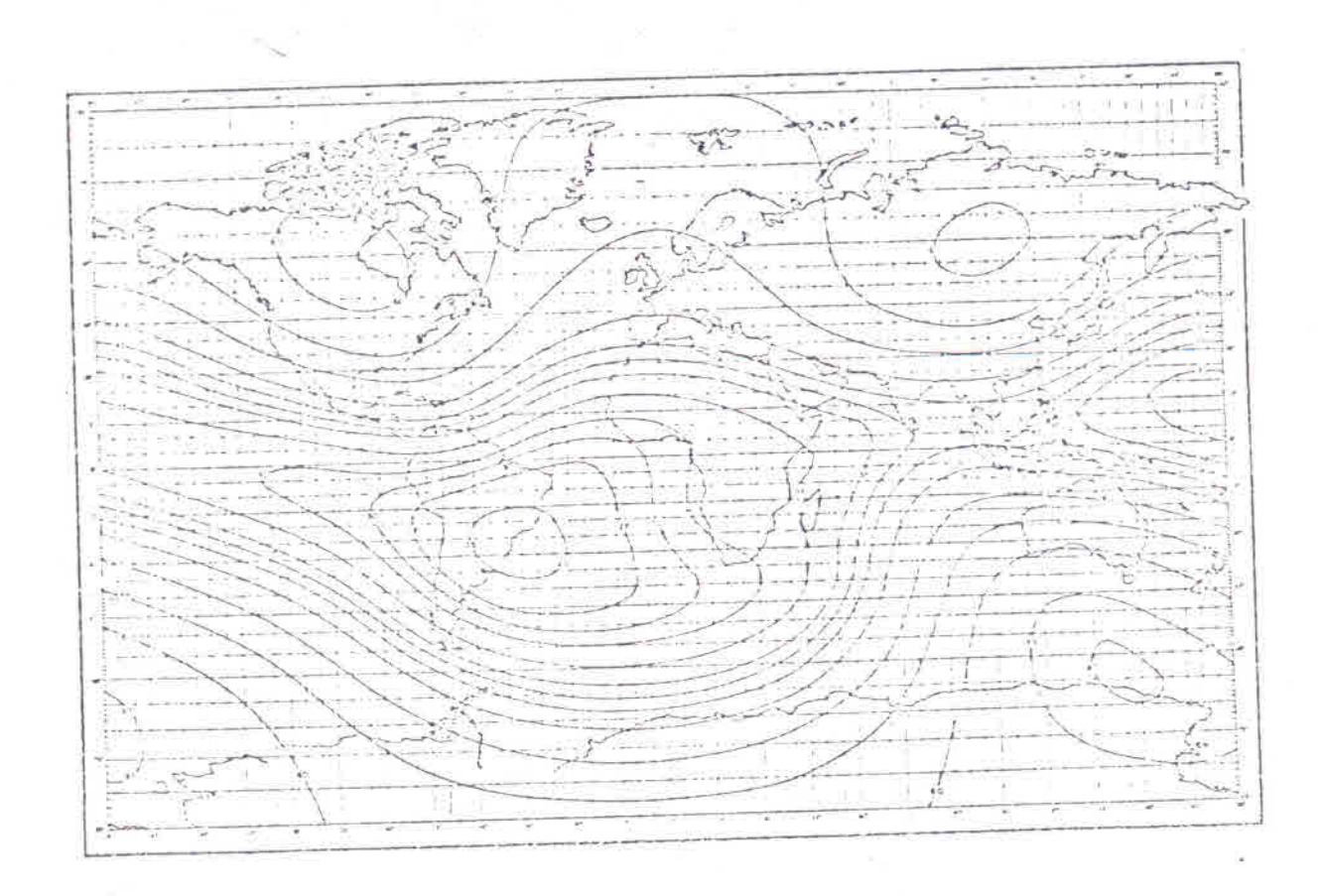


Fig. I.3 - Contornos de isointensidades constantes do campo geomagnético total

fera \tilde{e} densa, havendo assim perdas de partículas por colisões com os ele mentos atmosféricos. Dessa forma o fluxo de elétrons capturados sera mui to major \tilde{a} oeste da anomalia que a leste. A Figura I.4 ilustra este fato.

1.6 - DETEÇÃO DE PARTÍCULAS CARREGADAS PRECIPITADAS NA REGIÃO DA ANOMALIA GEOMAGNÉTICA BRASILEIRA

A deteção de partículas carregadas a baixa altitude na região da Anomalia Geomagnética Brasileira iniciou-se em 1960 com satélites soviéticos em órbita em torno da terra, entre 200 e 300 km de altitude.

Desde então tem aumentado o interesse na deteção dessas partículas e na investigação dos problemas relacionados com sua interação com a atmosfera. Ficou comprovada a existência de um aumento do fluxo de raios-x de baixa energia na região da Anomalia do Atlântico Sul, a altitudes de balões, de vido a bremsstrahlung produzido por elétrons precipitados do cinto inter no de radiação (Ghielmetti et al., 1964). Evidências diretas da precipitação de elétrons na atmosfera em altitudes de balões na região da Anomalia Brasileira foram obtidas medindo-se o fluxo de partículas durante uma tempestade magnética, através de observação por balão lançado em São José dos Campos (Martin et al., 1972). Abdu et al. (1973) estudaram os efeitos dos elétrons na ionosfera durante uma tempestade magnética forte, com da dos de um riômetro.

Particulas precipitadas na Anomalia Geomagnética tem sido

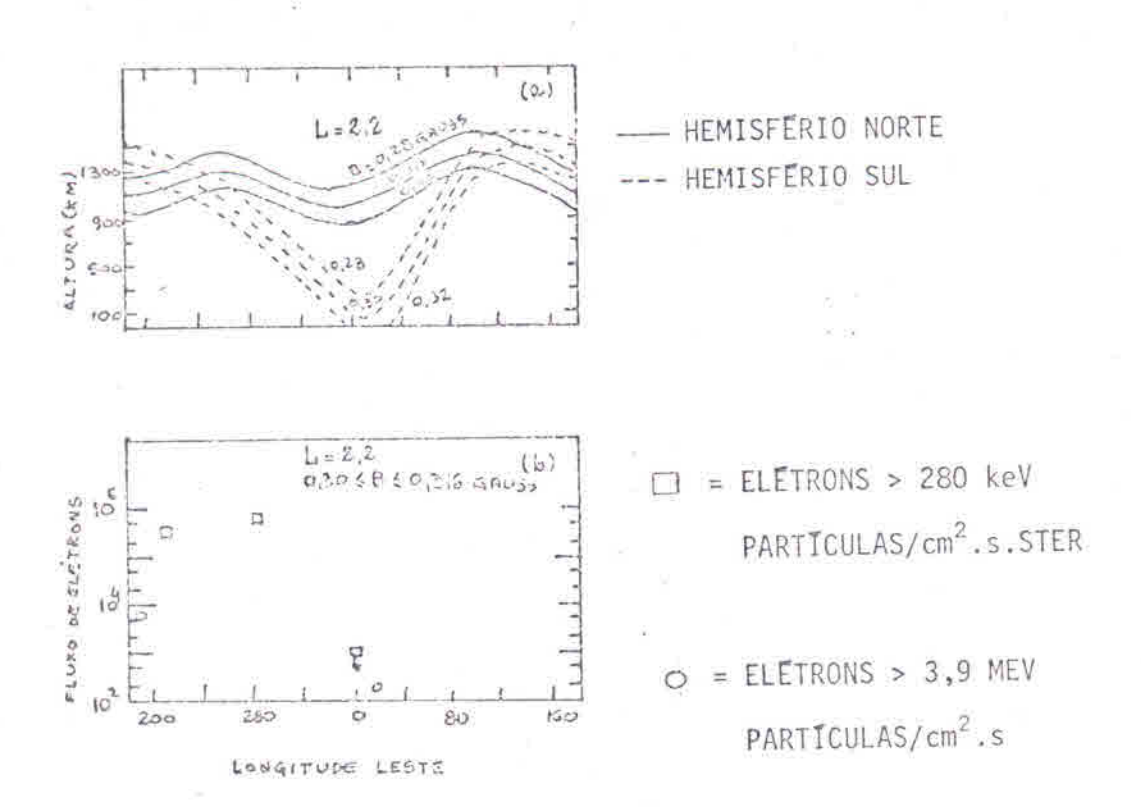


Fig. I.4 - a) Trajetória de alguns pontos de reflexão para L = 2,2

b) Diminuição do fluxo de partículas nos pontos de reflexão que atingem a baixa atmosfera na Anomalia Magnética brasileira. A seta indica que o fluxo estava abaixo

de 10³ eletrons/cm³.seg. ster (Zmuda, 1966)

observadas durante tempestades magnéticas, porém, durante condições magneticamente quietas, não havia evidências de precipitação de partículas. A análise de ionogramas obtidos de ionosonda operando em Cachoeira Paulista (22º42'S; 45º 01'W) no intervalo de frequência entre 250 KHz e 20 MHz tra a presença de uma fonte adicional de ionização à noite, na banda de bai xa frequencia, com reflexão entre 300 e 600 KHz. Este traço aparece sempre associado a uma camada E esporadica (E_s) e se diferencia desta últ<u>i</u> ma por ocorrer a alturas mais baixas, entre 90 e 100 Km, e por ser Esta camada "E noturna" não parece ser a camada E normal à noite, a mostra continuidade com a camada E durante o dia, ao nascer e por do sol. Co mo a camada "E noturna" ocorre a uma altura inferior à camada E normal, razoavel supor que os mecanismos de ionização sejam diferentes para ambas. Nos intervalos de frequencia entre 600 KHz e 1 MHz não são observadas flexões dessa camada, certamente devido à "group retardation" pois a giro frequência dos elétrons, nesta região, está em torno de 700 KHz.

A camada Es, ao contrário da "E noturna" ocorre a alturas de aproximadamente 100 Km e acima, é transparente na maior parte dos ionogramas e tem frequência máxima de reflexão entre 2-4 MHz, atingindo, em algumas ocasiões, 6-7 MHz. Nota-se que a camada Es ocorre tanto à noite como durante o dia. Os estudos já existentes sobre esta camada em outras regiões mostram que sua frequência de ocorrência varia muito de uma região para outra. Na região equatorial Es ocorre quase que exclusivamente durante o dia, variando pouco com a estação. Na zona auroral Es é predominantemente um fe

nômeno noturno, não mostrando nenhuma variação sensível com a estação. Jã em latitudes médias hã ocorrência máxima de Es no verão, sendo bem menor no inverno e hã mínimos nos equinócios (Smith, 1962). Como nas regiões auro rais, a presença frequente de Es a noite na região da Anomalia e então enca rada como uma evidência de precipitação de partículas durante tempo quieto.

Sob condições perturbadas a natureza das reflexões varia bas tante. A noite continua a aparecer reflexão da camada "E noturna", e a \underline{ca} mada Es torna-se muito intensa, com frequência máxima de reflexão chegando a atingir 10-12 MHz, impedindo qualquer reflexão da região F.

0 estudo da camada Es a noite, durante tempo quieto, const \underline{i} tuira o ponto principal deste trabalho.



CAPITULO II

ANALISE DOS PARAMETROS DA CAMADA E

Os parametros da camada E esporadica, analisados no presente estudo são a frequência de topo, f_t E_s , que \tilde{e} a frequência mais alta de reflexão da camada e a frequência de "blanketing", f_b E_s , que \tilde{e} a frequência mais baixa, na qual a camada começa a tornar-se transparente.

Hā vārios tipos de camada E esporādica, como por exemplo, os tipos \underline{f} , $\underline{\ell}$, \underline{c} e \underline{h} observados frequentemente em latitudes médias; o tipo \underline{a} observado na região auroral e o tipo \underline{q} observado na região equatorial mag nética. Todos esses tipos são descritos no Apêndice A. Na região em estudo os tipos mais frequentes, como nas latitudes médias são \underline{f} , $\underline{\ell}$, \underline{c} e \underline{h} . O tipo equatorial, \underline{q} , \underline{e} observado embora muito raramente. Entretanto, durante muitas noites são observados com muita frequência, traços difusos, quase sempre transparentes, com as mesmas características da camada \underline{E}_s tipo \underline{a} (\underline{a} u roral). A figura II.l mostra alguns exemplos dos tipos de \underline{E}_s que ocorrem em Cachoeira Paulista. No presente estudo não foi tentado separar os vários tipos, mas fizemos a análise de todos eles juntos.

O objetivo do estudo de frequência de topo \tilde{e} analisar a ocorrência da camada E_s em alguns meses e estações específicas. A frequência de "blanketing" \tilde{e} analisada principalmente por estar diretamente ligada \tilde{a}

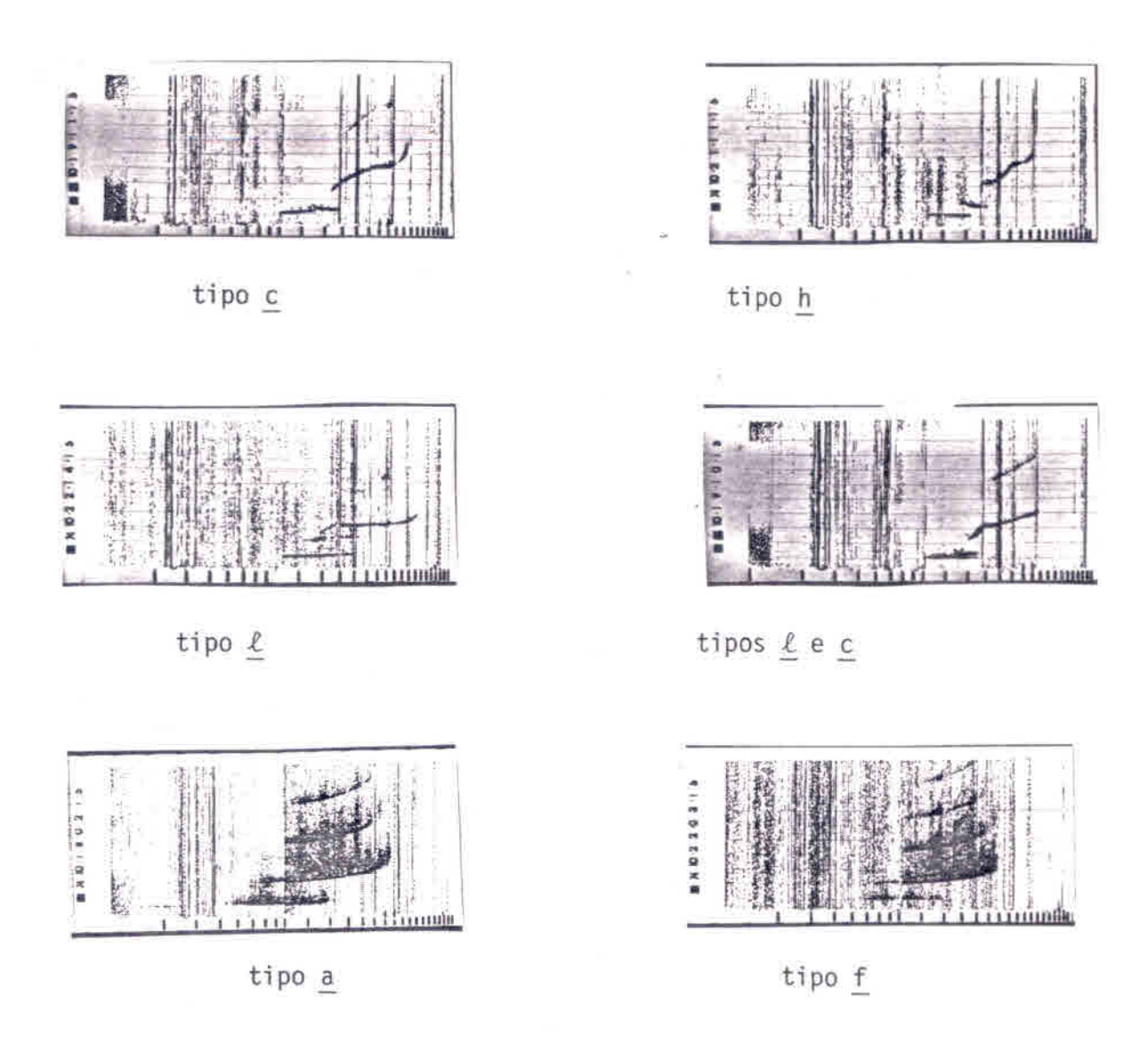


Fig. II.l - Tipos de $\rm E_{_{
m S}}$ observados nos ionogramas em Cachoeira Paulista

densidade eletrônica máxima da camada, que é dada por

$$N = 1,24 \times 10^4 f^2$$
 (II.1)

onde f \tilde{e} a frequência de "blanketing" em MHz e N a densidade eletrônica m $\tilde{\underline{a}}$ xima em cm $^{-3}$ (Smith, 1970).

A variação diurna da frequência de ocorrência de E_s com de terminados parâmetros \tilde{e} estudada considerando-se dois casos limites:

- i) frequência de ocorrência de E_s tendo $f_t \ge 2,0$ MHz;
- ii) frequência de ocorrência de E_s tendo $f_b > 2,3$ MHz.

A justificativa para tomarmos o valor de 2,0 MHz no item i é que frequências mais baixas são mais facilmente absorvidas, sendo que $\frac{du}{dt}$ rante o dia a frequência mínima observada nos ionogramas está em torno de 2 MHz. Um valor muito maior que 2 MHz também não seria útil pois, durante a maior parte do tempo o valor máximo de f_{t} E_{s} está em torno de 4 MHz. O valor de 2,3 MHz é a frequência onde a transmissão muda de uma antena de dipolo para log-periódica e para evitar influência da antena no valor de f_{t} usamos 2,3 MHz como limite mínimo no item ii.

As Figuras II.2 a II.7 mostram gráficos de frequência de ocorrência, frequências médias e número total de dados existentes em cada

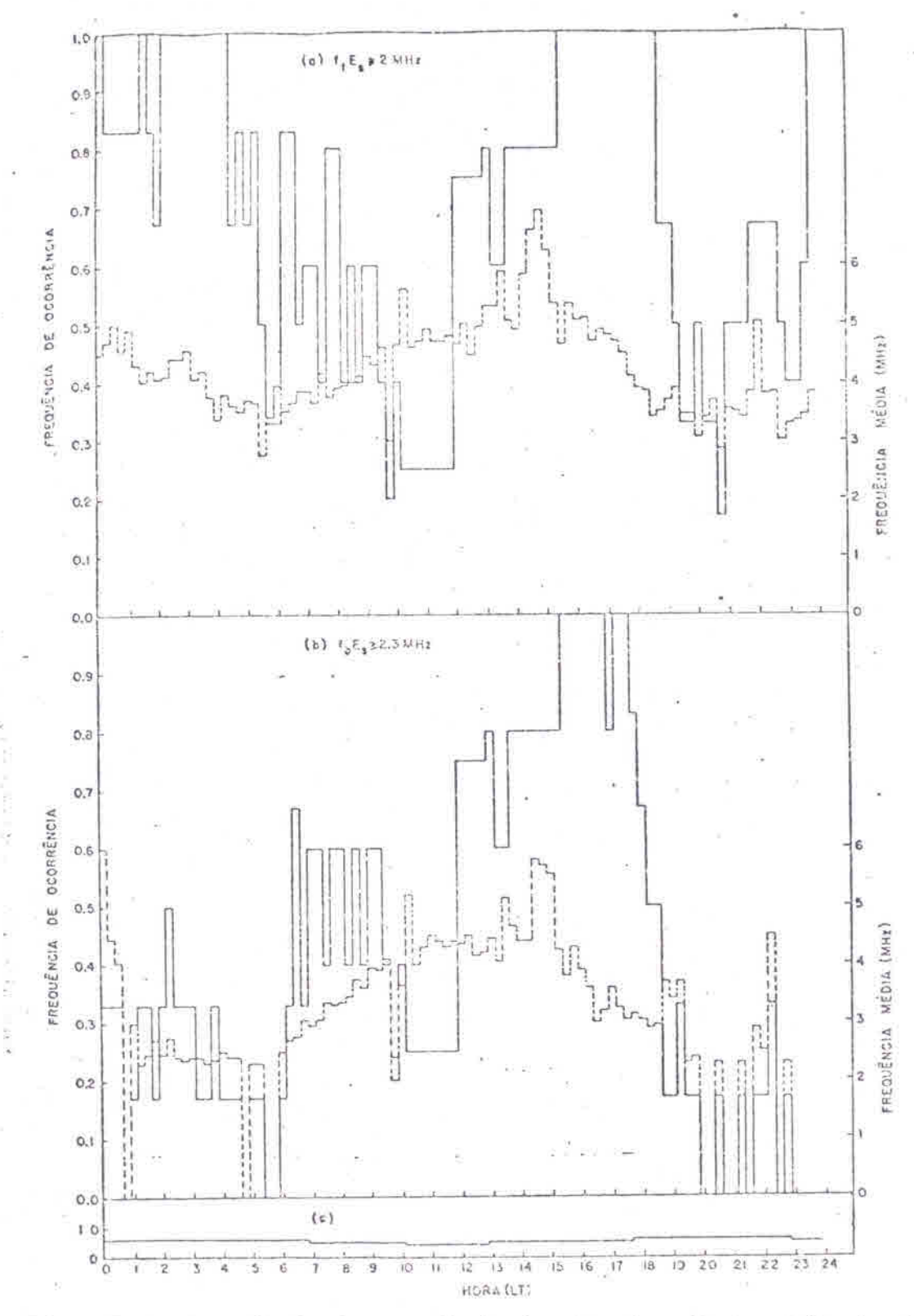


Fig. II.2 - Frequência de ocorrência (---) e frequência média (---).

Março 1973. O gráfico (c) representa o número de dados
existentes.

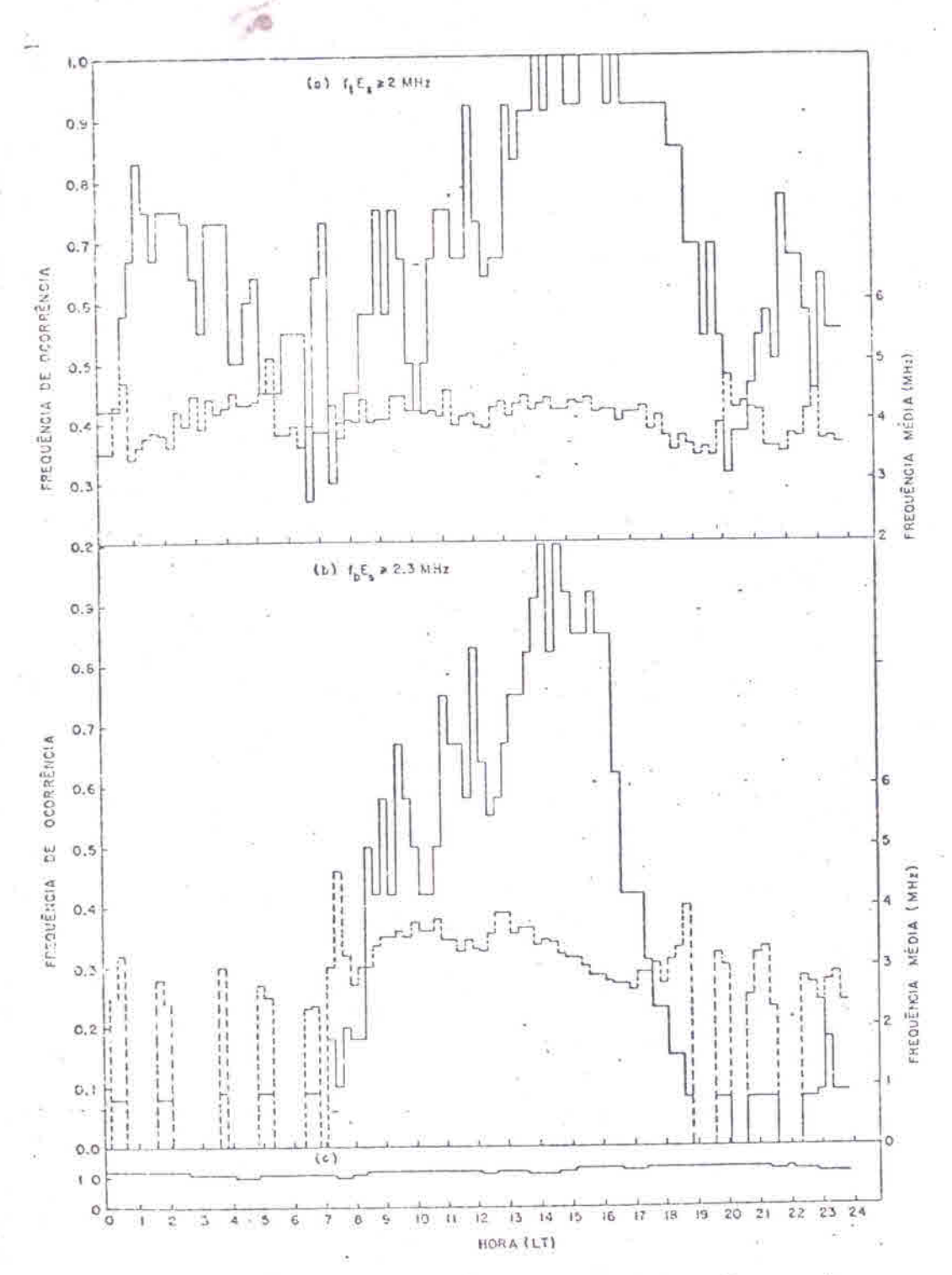


Fig. II.3 - Frequência de ocorrência (-----) e frequência média.

Abril 1973. O gráfico (c) representa o número de dados existentes.

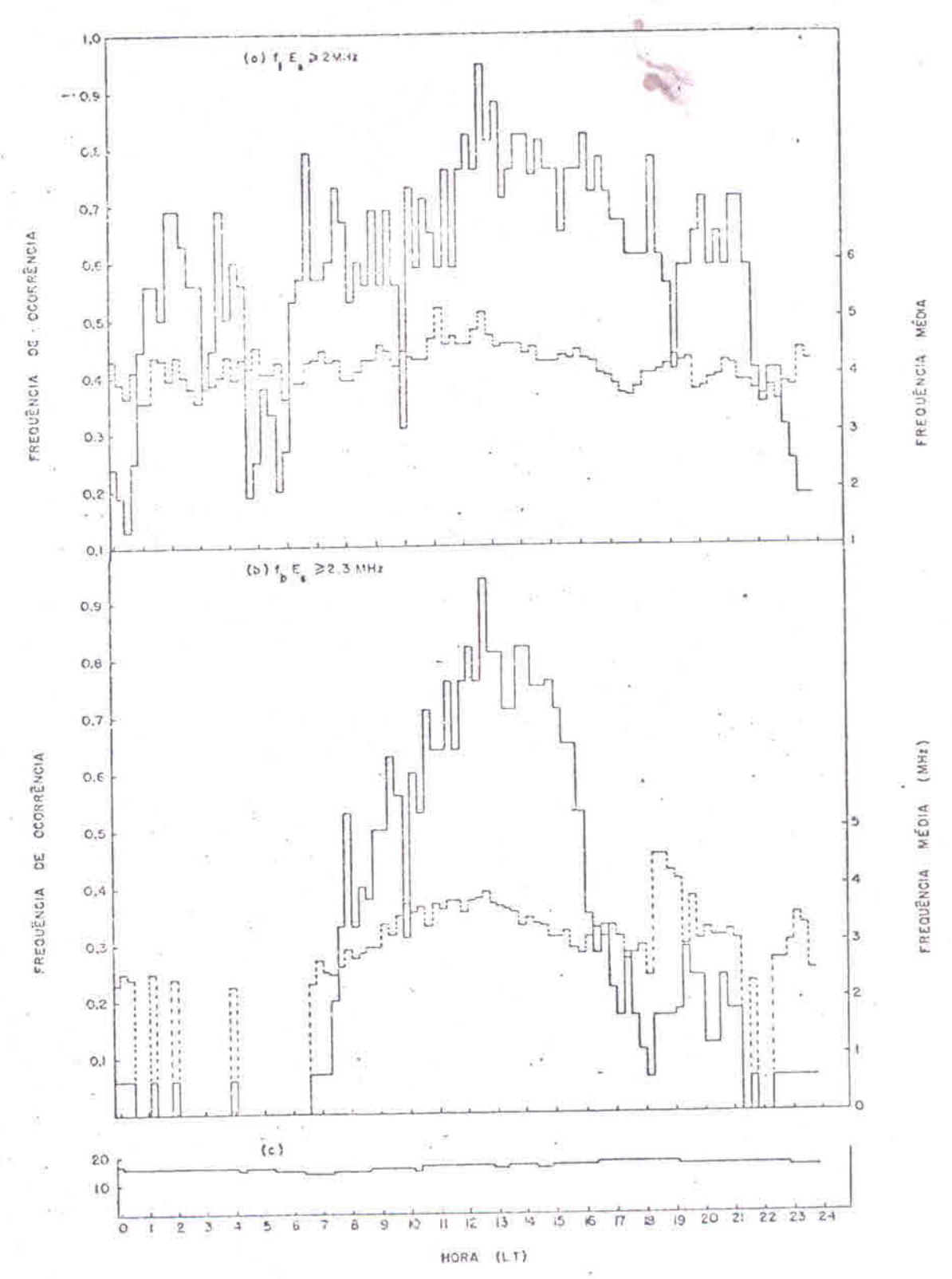


Fig. II.4 - Frequência de ocorrência (---) e frequência média (---).

Maio 1973. O gráfico (c) mostra o número de dados existentes.

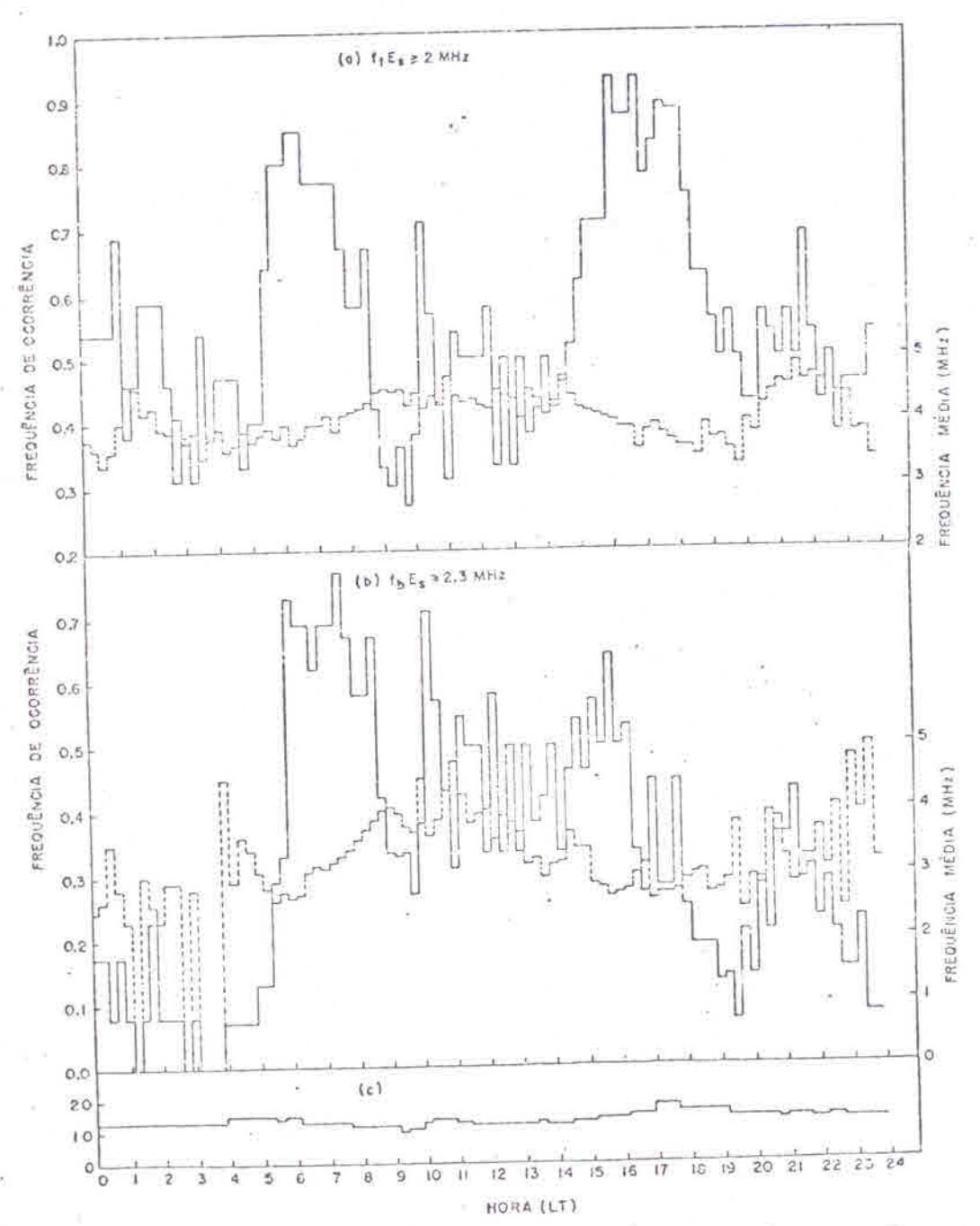


Fig. II.5 - Frequência de ocorrência (---) e frequência média (---).
Outubro 1973. O gráfico (c) mostra o número de dados.
existentes.

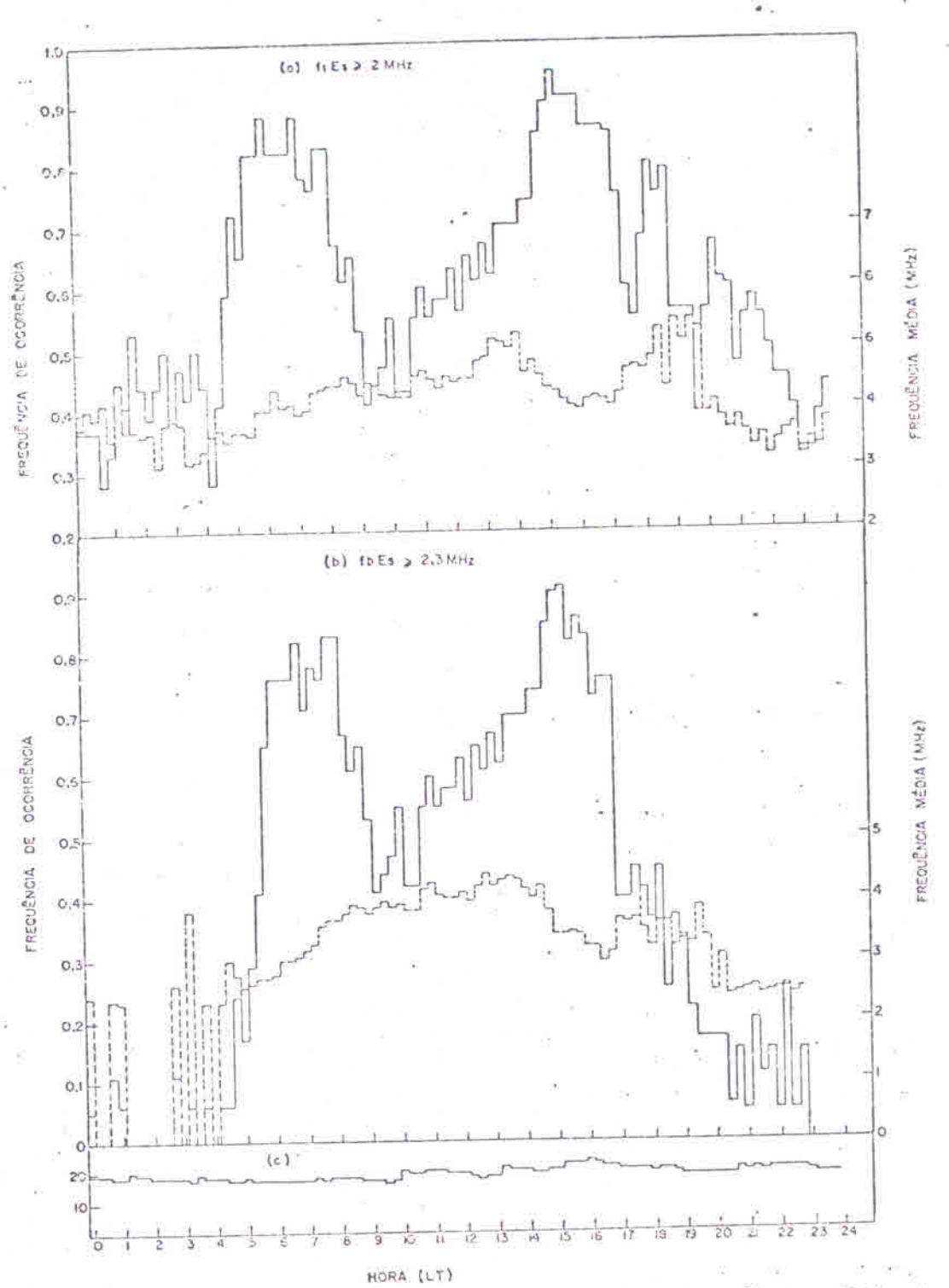


Fig. II.6 - Frequência de ocorrência (——) e frequência média (---).
Novembro 1973. O gráfico (c) representa o número de dados
existentes

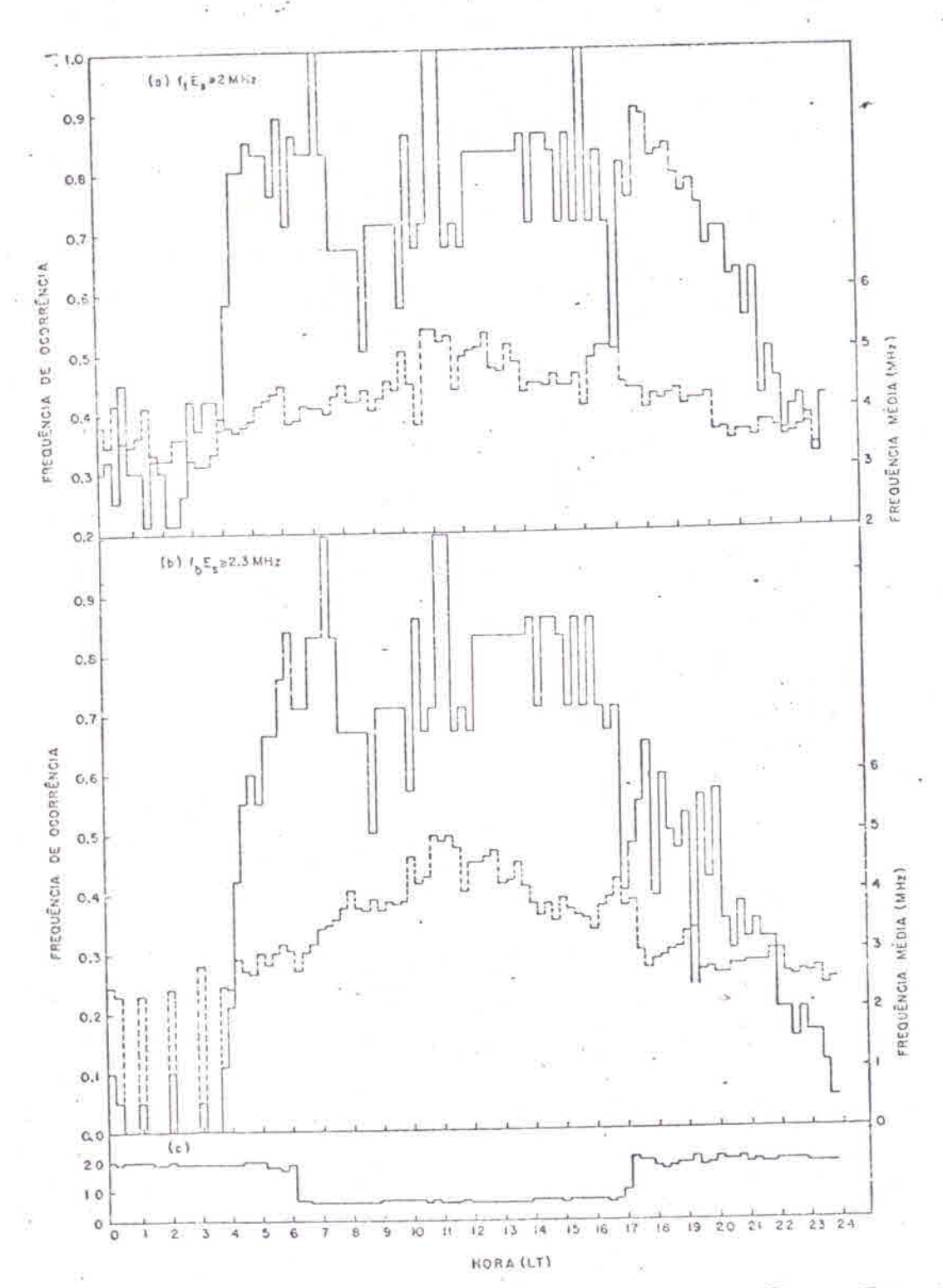


Fig. II.7 - Frequência de ocorrência (---) e frequência média (---).

Dezembro, 1973. O gráfico (c) representa o número de dados existentes.

15 minutos, para os meses de março, abril, maio, outubro, novembro e dezembro de 1973. Para cada uma das figuras o gráfico <u>a</u> mostra a frequência de ocorrência da camada E_s com f_t E_s \geq 2,0 MHz (linha contínua) e o valor médio de f_t E_s (linha tracejada); o gráfico <u>b</u> mostra a frequência de ocorrência da camada E_s com f_b E_s \geq 2,3 MHz (linha contínua) e o valor médio de f_t E_s (linha tracejada) e o gráfico <u>c</u> indica o número de dados existentes no período analisado.

Observando as Figuras II.2 (a) a II.7 (a) vê-se que a camada E_s nas regiões de São José dos Campos (Figuras II.2 a II.4) e Cachoeira Paullista (Figuras II.5 a II.7) tem frequência de ocorrência bastante alta du rante o dia e, embora a ocorrência, em geral, seja menor à noite, não é desprezível nestas horas, ocorrendo, às vezes, 70 a 80 % do tempo, em al guns casos (Figuras II.3(a) e II.4(a)).

A noite são observadas camadas E_s do tipo transparente (permite a reflexão de uma camada superior) e do tipo blanketing (impede a reflexão da camada superior). Comparando as Figuras II.2(a) e II.2(b) até II.7(a) e II.7(b) nota-se que, à noite a camada do tipo blanketing (com f_b E_s \geqslant 2,3 MHz) ocorre muito menos frequentemente que as camadas transparentes e que aquelas com baixos valores de f_b (abaixo de 2,3 MHz). Assim a camada E_s transparente em um amplo intervalo de frequência ocorre muito mais que a do tipo blanketing. As Figuras II.5 (a), II.6 (a) e II.7 (a) mos tram claramente a existência de dois picos na frequência de ocorrência da

camada $\rm E_{\rm S}$, um pela manhã e outro à tarde. Estes picos são mais claramente visíveis nas Figuras II.8 (a) e II.9 (a). Estas Figuras são análogas às an teriores, porém para os períodos de março, abril e outubro, 1973 (equinócio) e novembro, dezembro, 1973 e janeiro 1974 (verão) respectivamente. Estes picos serão analisados posteriormente em comparação com resultados de latitudes médias que apresentam características similares.

As Figuras II.8, II.9 e II.4 mostram as frequências de ocorrência da camada E_s nas diferentes estações. O período de inverno conta aperas com os dados do mes de maio. Comparando as três figuras vê-se que para os períodos representativos do verão e equinócio os padrões não diferem muito, com os picos de ocorrência máxima aproximadamente as mesmas horas. No entanto no inverno, este padrão muda bastante. Uma característica que se conserva em todos eles é a alta frequência de ocorrência da camada, não sendo observada a diminuição acentuada do inverno em relação ao verão que ocorre em latitudes médias (Dueño, 1962) nem o mínimo do equinócio (Smith, 1962).

A Figura II.10 compara a frequência de ocorrência da camada E esporadica em Cachoeira Paulista para o periodo de novembro, dezembro 1973, janeiro 1974, com frequências de ocorrência em outras localidades. Os graficos usados para comparação foram retirados de Harris e Taur (1972). Observa-se que, durante o dia o comportamento é similar em todas as localidades comparadas, enquanto que a noite há uma diferença marcante. Enquanto que nas demais localidades, a frequência de ocorrência à noite é apenas

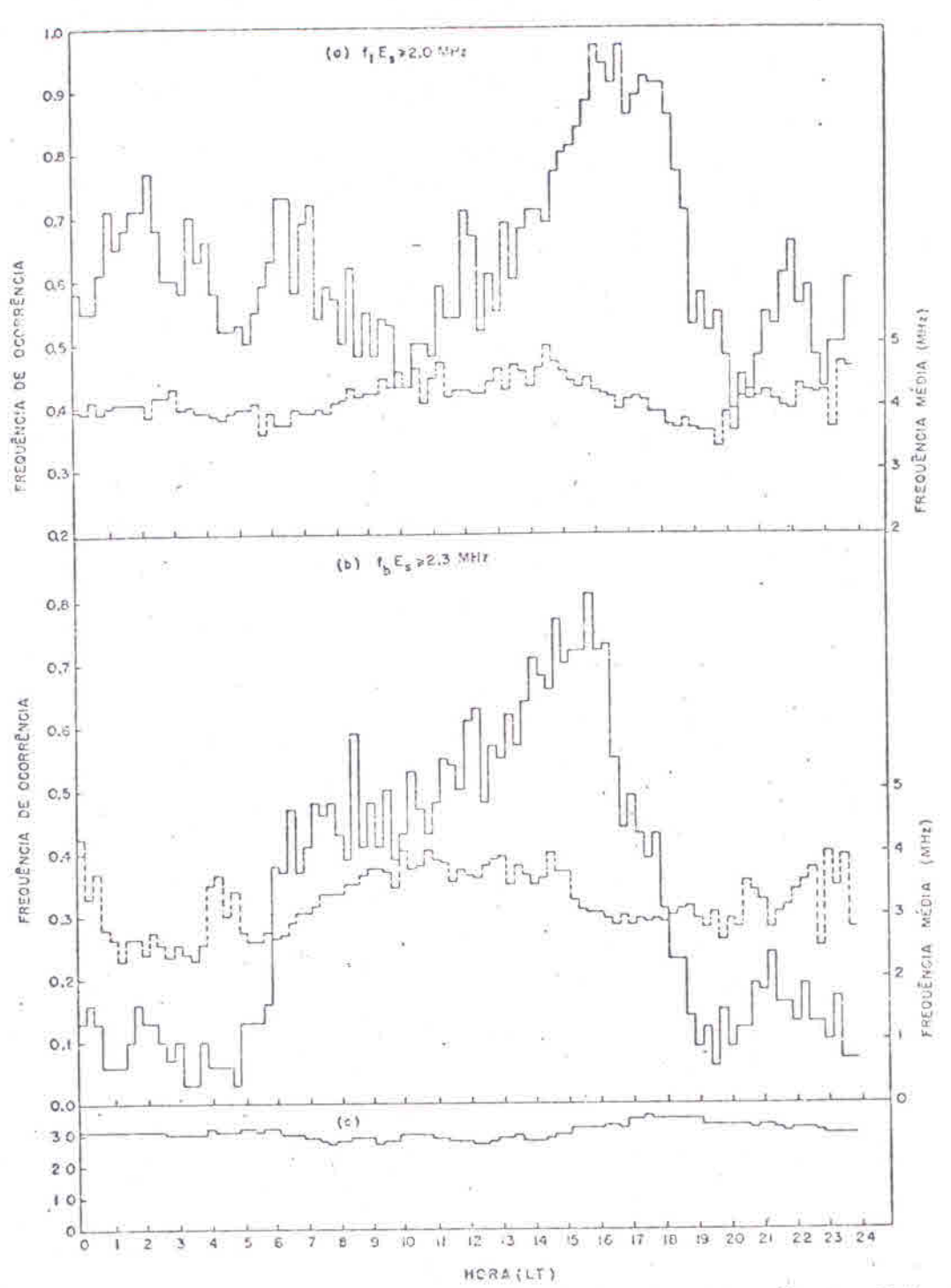


Fig. II.8 - Frequência de ocorrência (---) e frequência média (---).

Março, abril e outubro, 1973. O gráfico (c) representa o número de dados existentes.

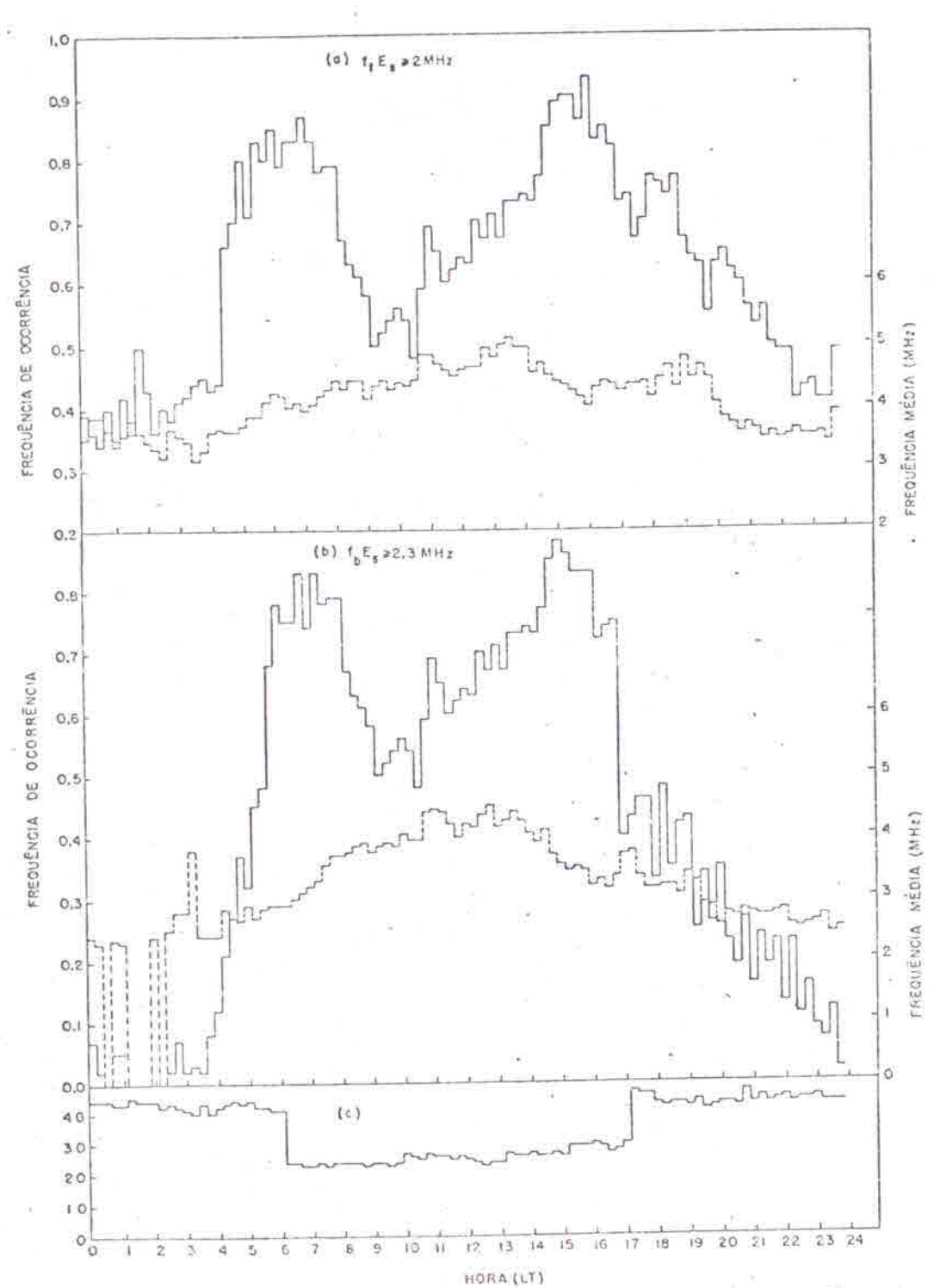


Fig. II.9 - Frequência de ocorrência (---) e frequência média (---).

Novembro, dezembro, 1973. Janeiro 1974. O gráfico (c)

representa o número de dados existentes.

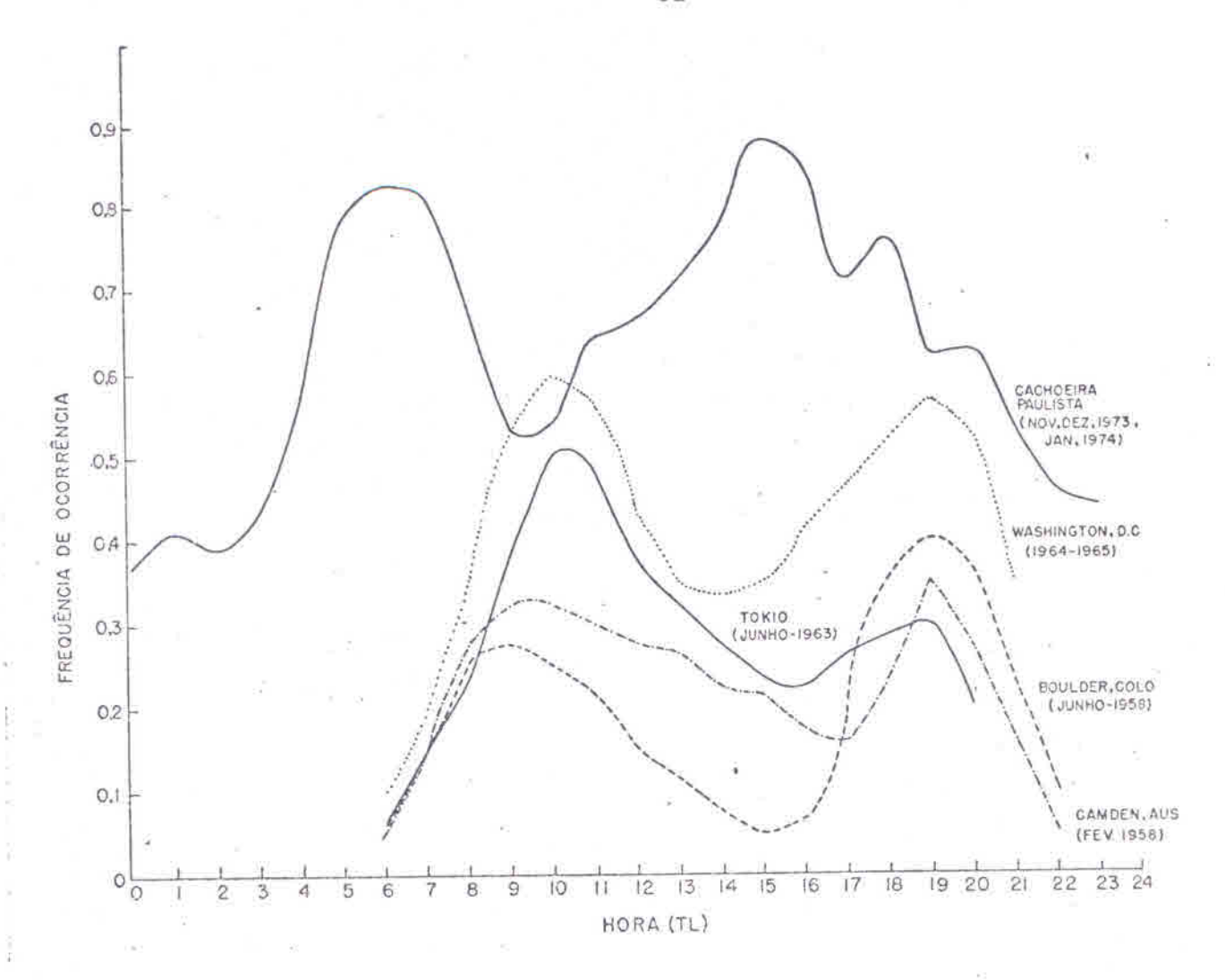


Fig. II.10 - Comparação da frequência de ocorrência da camada $\rm E_{_{\rm S}}$ no verão em Cachoeira Paulista com outras localidades.

aproximadamente 20% do seu valor no pico durante o dia, em Cachoeira Pa<u>u</u> lista ẽ 50% desse valor, mostrando que a camada E esporadica nesta região, ã noite, ocorre muito mais frequentemente que em latitudes medias.

Como pode-se observar, em todos os casos ha dois picos na fre quência de ocorrência da camada $\rm E_{\rm S}$, apenas que considerando o caso do $\rm pre$ sente estudo, o pico ocorre aproximadamente três horas antes que nas demais localidades (médias latitudes).

A teoria dos ventos de cisalhamento para a formação da camada E esporádica em latitudes médias jã estã bem desenvolvida e é bastante aceita. Mac Dougal (1974) mostrou que, no intervalo de altura entre 105 e 115 km, a formação da camada E esporádica é devido exclusivamente aos ventos neutros zonais (leste-oeste), e que essa camada se formará bem próximo ao ponto de inversão da velocidade do vento. O gráfico mostrando os dois picos na frequência de ocorrência é um padrão típico do efeito de um vento puramente semi-diurno. Como nos casos analisados por Mac Dougal, o espaçamento entre os dois picos não é de 12 horas mas de aproximadamente 10 horas. As horas de ocorrência dos máximos analisadas por Mac Dougal resultam de observações feitas por várias estações de latitudes médias e baixas, podendo-se notar uma tendência clara para o tempo de inversão da velocidade do vento semi-diurno ser mais cedo à medida que a latitude decresce. Evidência para este mesmo fato é apontada no trabalho de Salah et al. (1975), sendo mostrado que os tempos de máximo em Arecibo (18ºN) ocorrem aproximada

mente 3 horas fora de fase de Millstone Hill (42º N), ocorrendo mais cedo em Arecibo no verão e equinócio, e mais tarde no inverno. O comportamento da frequência de ocorrência no equinócio, para o caso do presente estudo é mostrado na Figura II.8 (a) e é similar ao apresentado no verão com picos ocorrendo aproximadamente às mesmas horas. Outro ponto que deve ser salientado é que os resultados de Mac Dougal, que dão como 0830 e 1800 LT (tempo local) as horas de inversão do vento semi-diurno, são calculados para o ponto de inversão a uma altura de 110 Km, e uma velocidade vertical média de aproximadamente 4,5 Km/h. Porém uma comparação usando velocidade vertical só poderia ser feita com resultados de uma mesma latitude.

A presença de um vento semidiurno não \tilde{e} evidente da Figura II.4 (a), sendo mais provável a influência do vento diurno, com máximo em torno de 1245 LT. A presença de \tilde{E}_{S} a noite durante esse período representativo do inverno \tilde{e} bem acentuada.

Durante tempo magneticamente calmo (baixos valores do indice K_p) observa-se que as características básicas da ocorrência de E_s permane cem inalteradas, continuando o seu aparecimento acentuado tanto durante o dia como à noite, conforme mostram as Figuras II.11 e II.12 que se referem aos 5 dias mais calmos do equinocio e verão, respectivamente.

Uma análise do comportamento da camada E_s durante o período

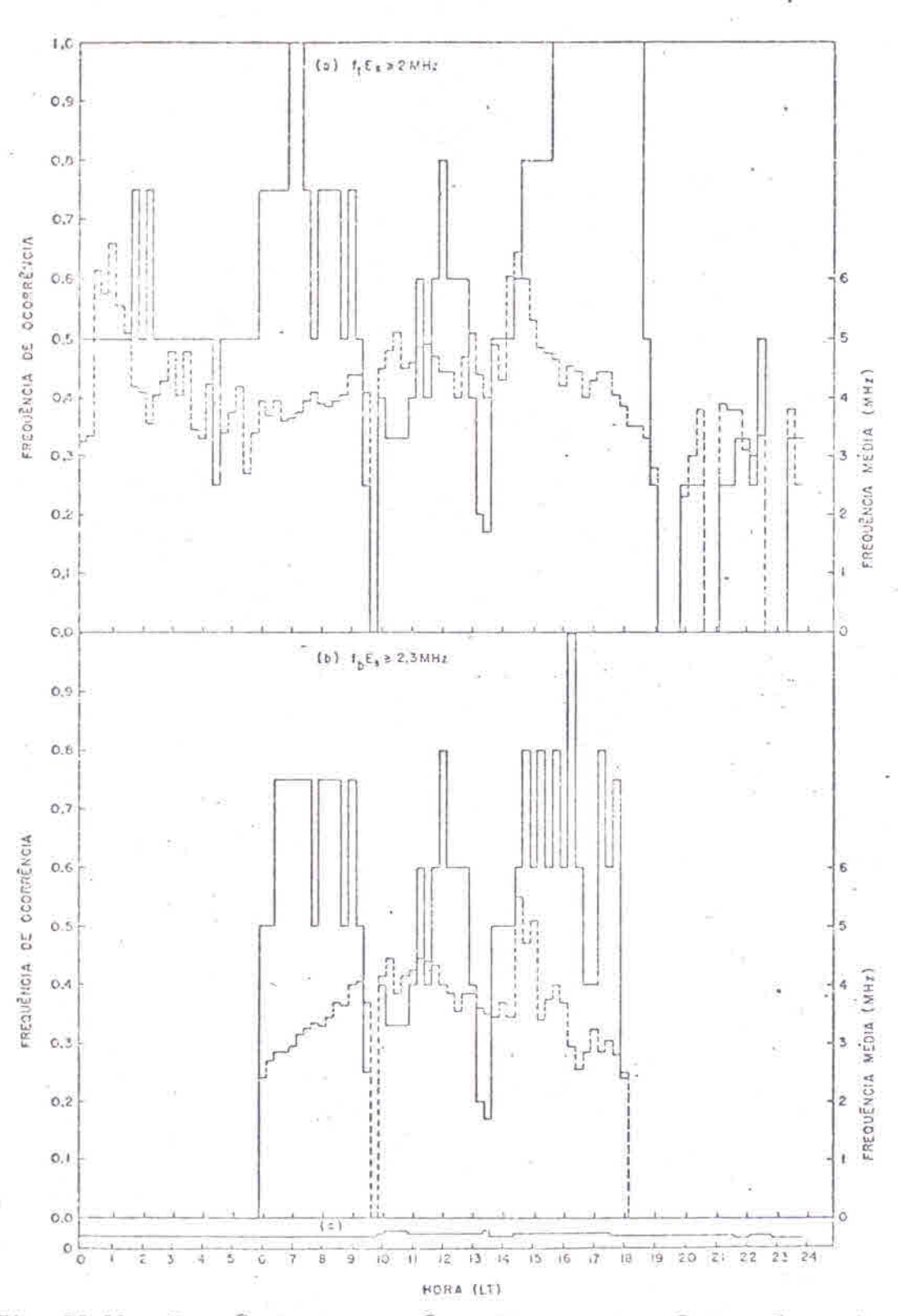


Fig. II.11 - Frequência de ocorrência (---) e frequência média (---). Cinco dias mais quietos de março, abril e outubro, 1973. O gráfico (c) representa o número de dados existentes.

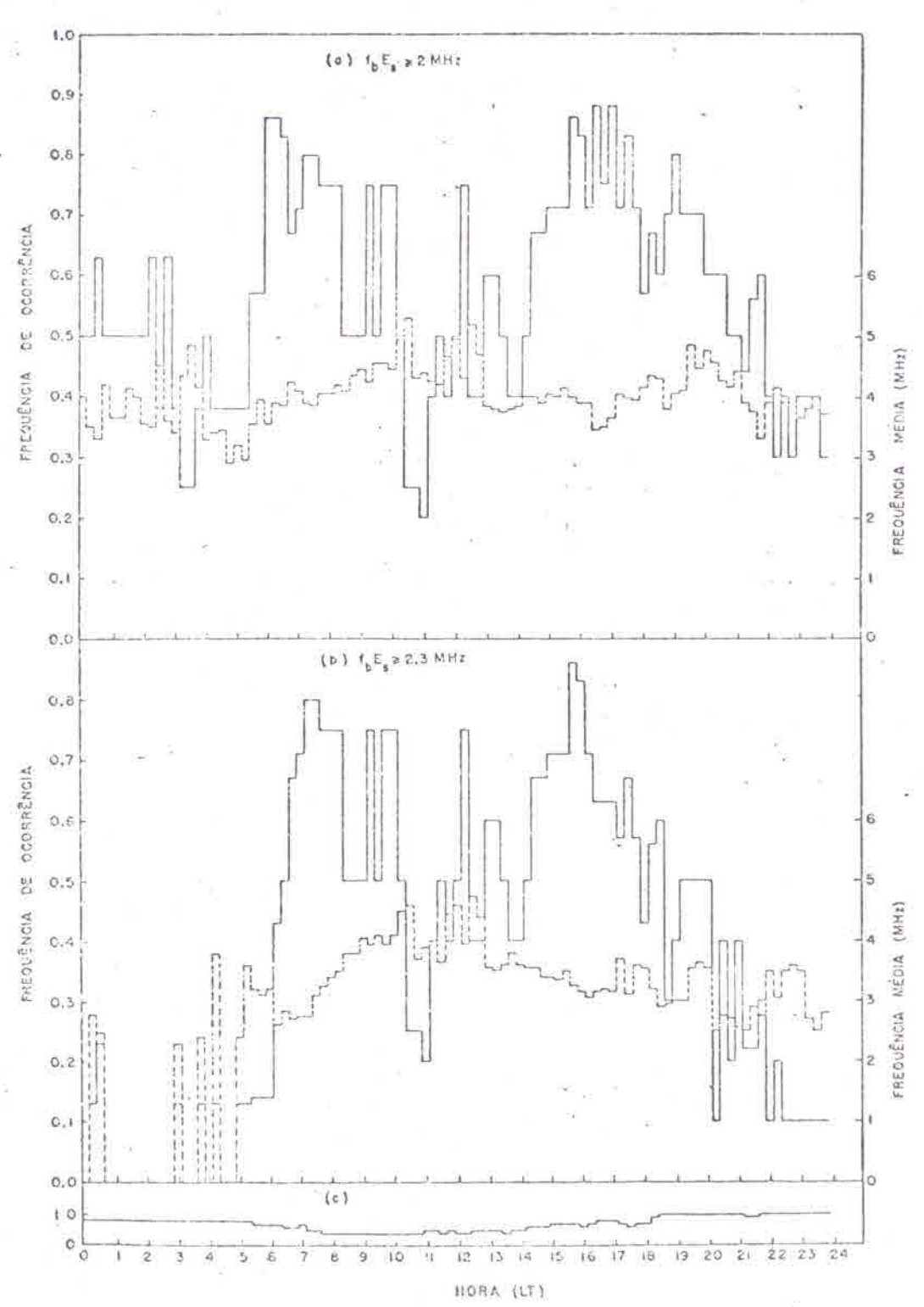


Fig. II.12 - Frequência de ocorrência (---) e frequência média (---).

Cinco dias mais quietos dos meses novembro, dezembro, 1973 e
janeiro, 1974. O gráfico (c) representa o número de dados
existentes.

de tempestade magnética mostra que as frequências de topo e de "blanketing" são mais altas nesses períodos que em condições normais. A Figura II.13 mos tra gráficos de f_t E_s e f_b E_s para os períodos de 21-23 maio 1973, 16-18 outubro 1973, 29-31 outubro 1973. Em 21 de maio ocorreu uma tempestade magnética com SC às 0300 UT (tempo universal). Em 16 de outubro outra tempestade com SC as 0520 UT. O dia 29 de outubro foi altamente perturbado, com índice A_p = 86, embora não tenha havido uma tempestade do tipo SC.

A Figura II.14 mostra ionogramas para o dia 16 de outubro de 1973. Este aumento acentuado nas frequências características da camada $\rm E_{\rm S}$ pode ser uma evidência de precipitação de partículas na Anomalia Geomagnética Brasileira durante períodos geomagneticamente perturbados.

Conforme ja foi mostrado por Whitehead (1966), \bar{e} necessario que haja uma fonte de ionização na região \bar{e} , \bar{a} noite, para permitir a <u>for</u> mação de uma camada \bar{e} esporadica. Conforme será visto no próximo capítulo, as taxas de produção \bar{a} noite devido \bar{a} radiação UV espalhada são insuficien tes para explicar as densidades eletrônicas observadas nessa região. Assim, a alta ocorrência de \bar{e} \bar{a} noite, na região da Anomalia Geomagnética \bar{e} toma da como uma evidência de precipitação de partículas nessa região.

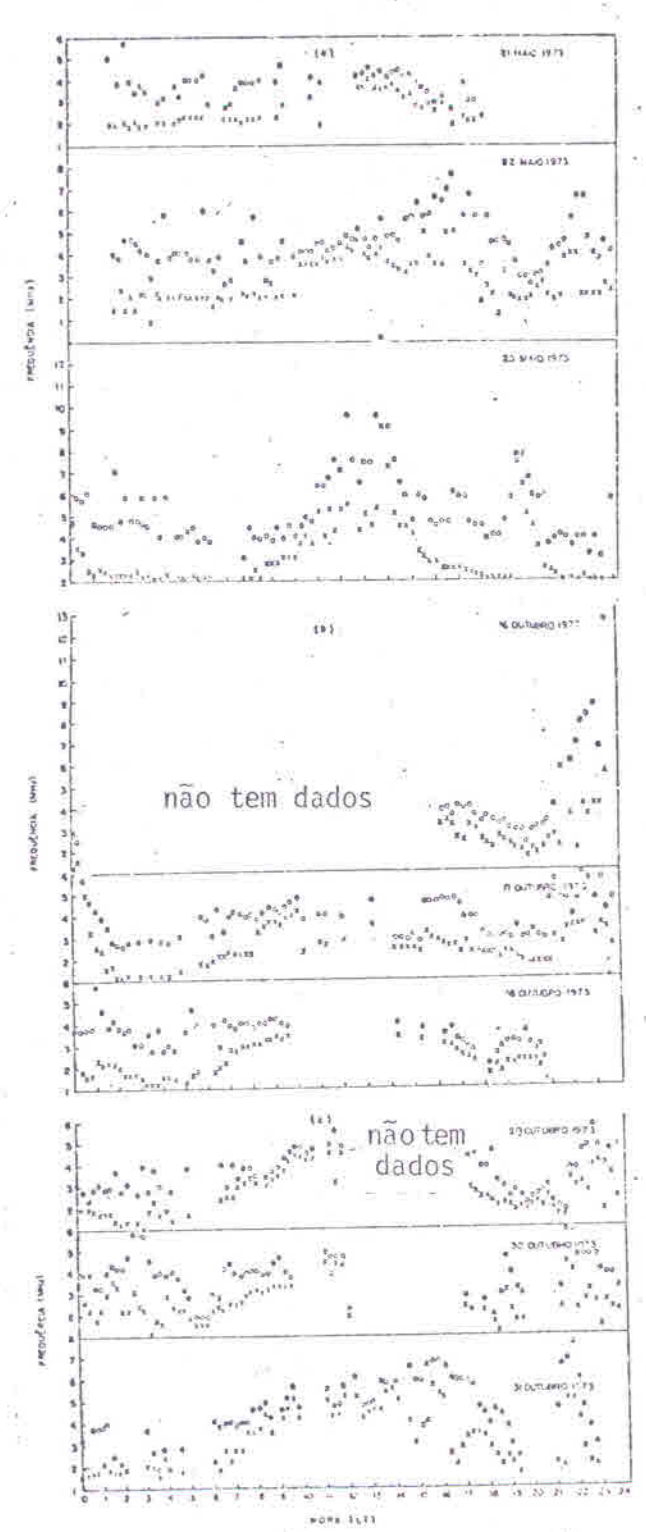
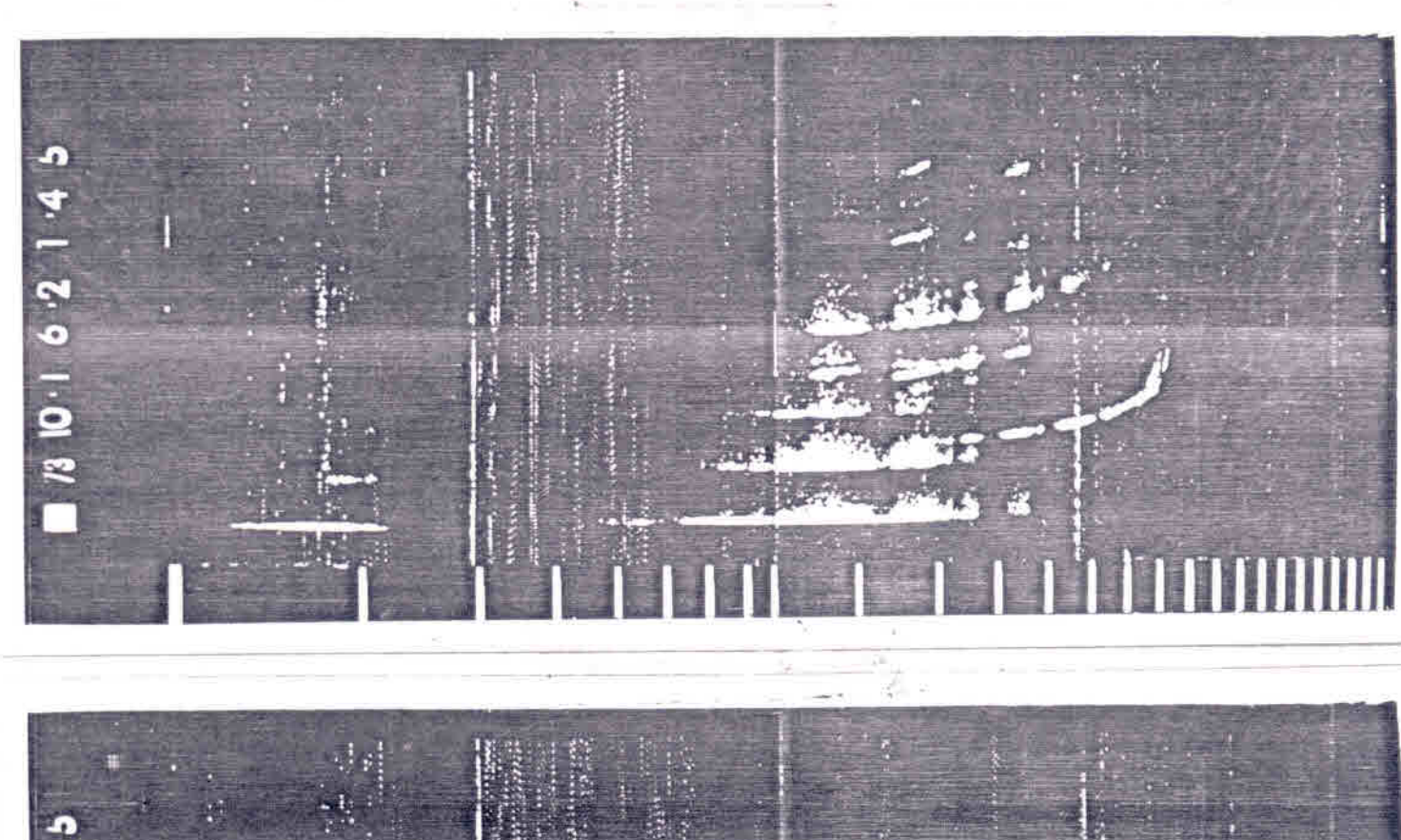


Fig. II.13 - Frequências de topo (círculo) e de "blanketing" (x) da camada E_s para os períodos:

- a) 21,22 e 23 de maio, 1973
- b) 16,17 e 18 de outubro, 1973
- c) 29,30 e 31 de outubro, 1973



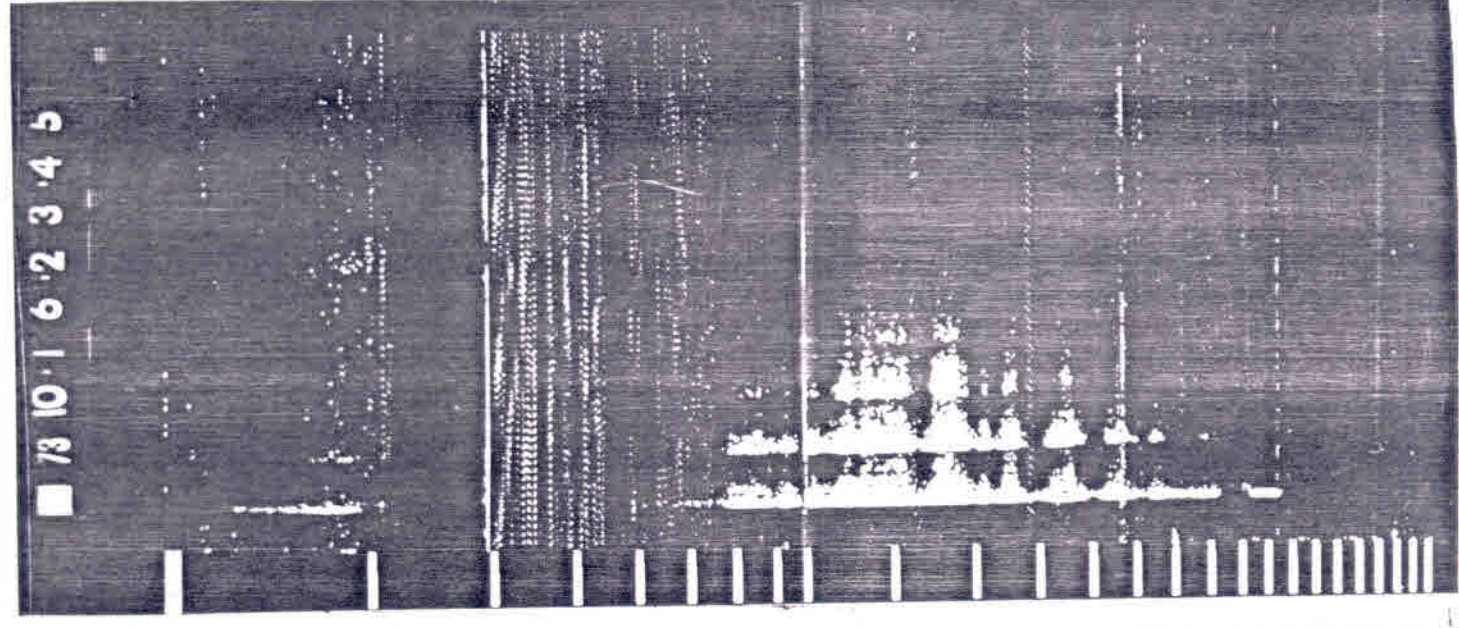


Fig. II.14 - Ionogramas registrados em Cachoeira Paulista em 16 de outubro de 1973, quando houve uma tempestade magnética do tipo SC.



CAPITULO III

PRECIPITAÇÃO DE PARTÍCULAS

3.1 - INTRODUÇÃO

Neste capítulo é feita uma estimativa da produção de pares de ions à noite necessária para explicar os resultados observados nos iono gramas. Dessa forma, é calculada a taxa de produção de pares de ions devido a elétrons precipitados, assumindo-se vários fluxos. Os perfis de densidade eletrônica da camada E esporádica foram calculados usando a teoria dos ventos de cisalhamento. Outras taxas de produção à noite e durante o dia foram usadas para comparação.

3.2 - IONIZAÇÃO DA REGIÃO E DA IONOSFERA POR ELETRONS ENERGÉTICOS

O cálculo da ionização na Anomalia Geomagnética devido a elétrons energéticos, durante tempo quieto, pode ser feito assumindo-se um modelo atmosférico dado e usando espectros de energia de elétrons baseados em medidas de satélites. Rees (1963) desenvolveu um método que permite este cálculo o qual será usado aqui, considerando uma distribuição isotrópica entre 0º e 80º para o feixe de elétrons incidente. A distribuição da dissi pação de energia por elétrons monoenergéticos, com uma distribuição isotrópica, é mostrada na Figura III.1, onde z/R é a profundidade de penetração

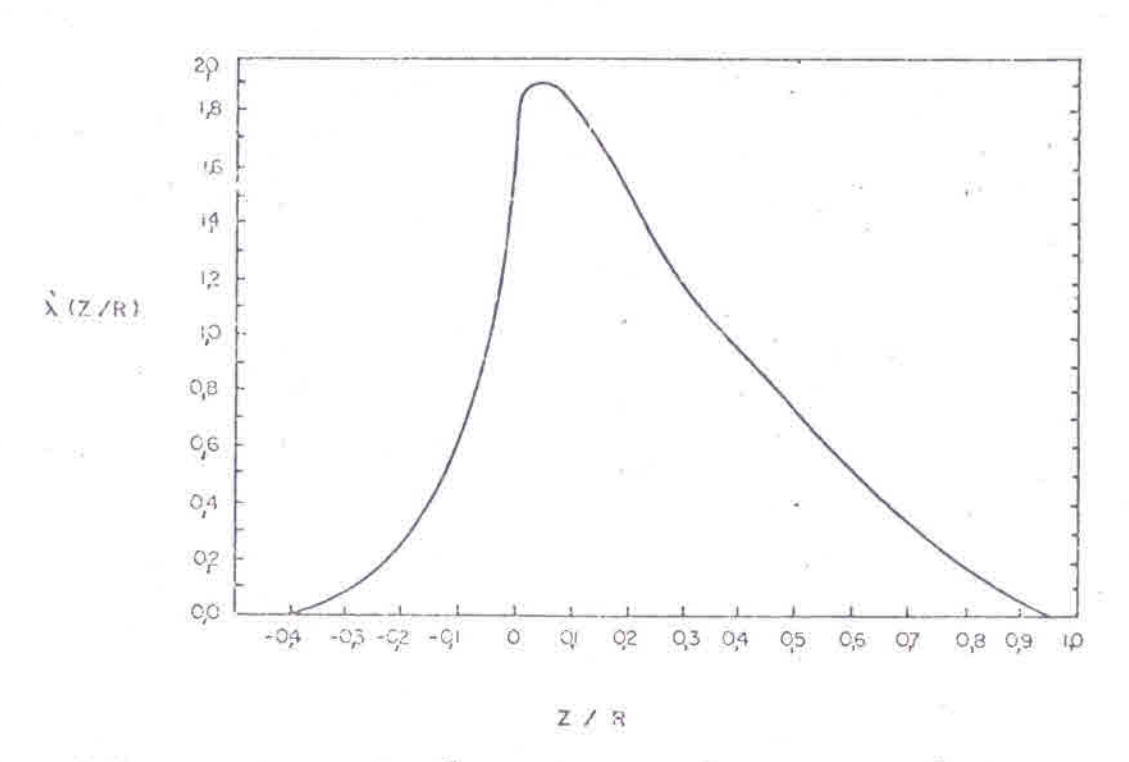


Fig. III.1 - Função de distribuição de dissipação de energia (normalizada). Feixe de eletrons incidente com distribuição isotropica (0 - 80°)

atmosférica normalizada e λ'(z/R) e a dissipação de energia.

A taxa de ionização por unidade de volume, q_z , por fluxo unitario de eletrons incidentes J, \bar{e} dada por

$$\frac{q_z}{J} = \frac{\varepsilon_0/r_0}{\Delta \text{ Eion}} \lambda'(\frac{z}{R}) \frac{n(M)_z}{n(M)_R}$$
 (III.1)

onde :

 ϵ_{0} - \bar{e} a energia inicial do eletron

 ΔE ion - \tilde{e} a perda m \tilde{e} dia de energia por par de ions formado

n(M)_z - e a densidade numerica de atomos ou moléculas ionizáveis na profundidade atmosférica z

 $n(M)_R$ - \bar{e} a densidade numerica de atomos ou moléculas ionizaveis na profundidade atmosférica R

 $r_0=\frac{R}{\rho}$ - o "range" (em atm-cm) no "topo da atmosfera", onde ρ \tilde{e} a densidade de massa (em g/cm³) na altura de penetração mais baixa

 $\lambda^{\, {}^{\prime}} \left(\, \, \frac{Z}{R} \, \, \right) \,$ - \tilde{e} a função de distribuição normalizada de dissipação de energia

A profundidade atmosferica pode ser obtida dividindo-se $\,$ a pressão pela aceleração da gravidade, tendo unidade g/cm 2 .

No intervalo de energia considerado (1 keV - 300 keV) R esta relacionado \bar{a} energia inicial ϵ_0 pela equação

$$R = 4,57 \times 10^{-6} \varepsilon_0^{1,75}$$
 (III.2)

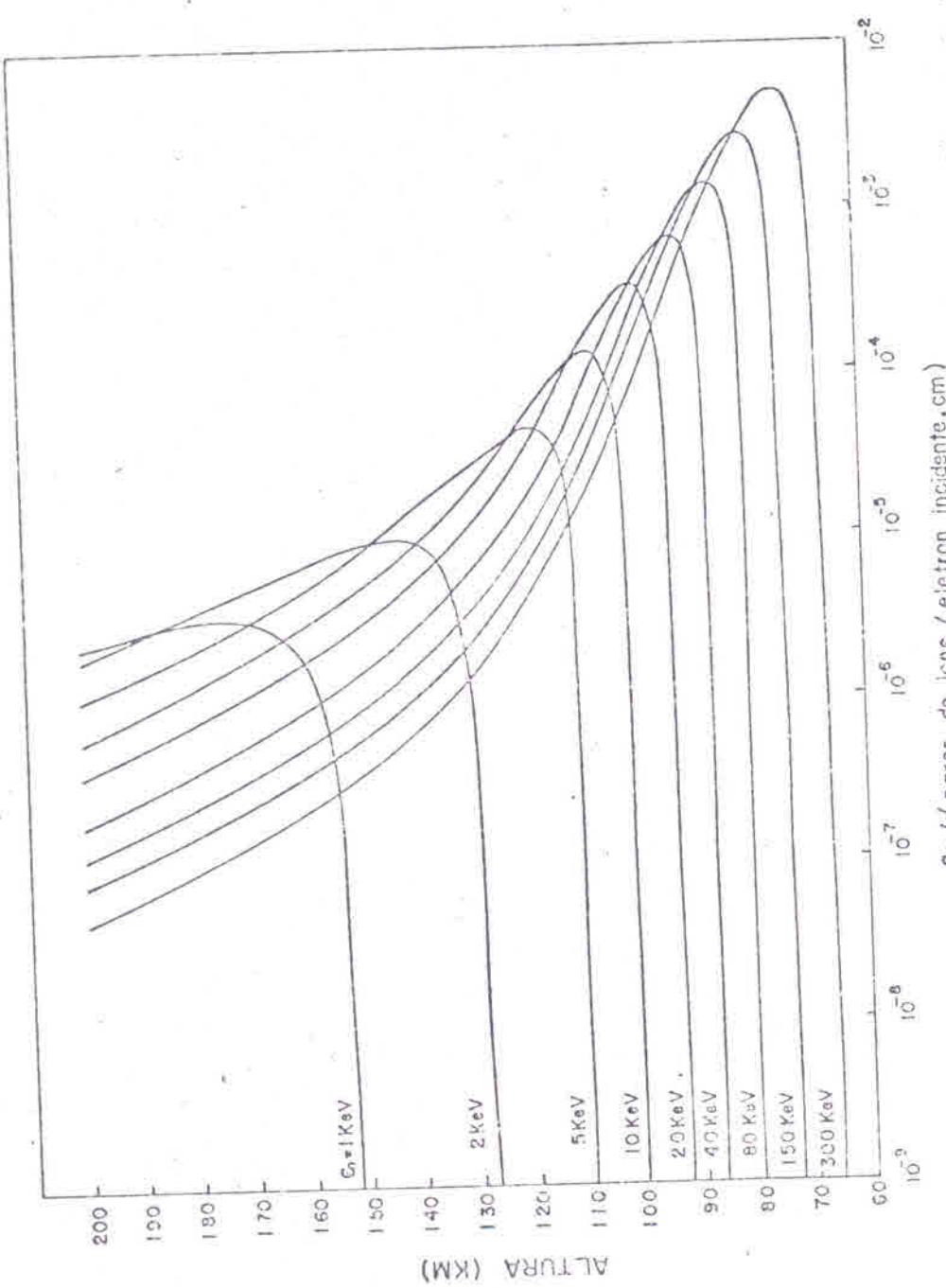
onde ε_0 $\tilde{\rm e}$ expresso em keV e R em g/cm². O valor adotado para $\Delta E_{
m ion}$ $\tilde{\rm e}$ de 35 eV (Banks e Kockarts, 1973) que $\tilde{\rm e}$ apropriado para elétrons com energia acima de 500 eV.

O modelo atmosférico usado foi CIRA 1965.

A Figura III.2 mostra a taxa de produção por unidade de vol \underline{u} me, por fluxo unitário de elétrons incidentes no intervalo de altura entre 60 km e 200 km, para vários valores da energia inicial ϵ_0 dos elétrons.

A Tabela III.l contem a altura de ionização máxima para el $\underline{\underline{e}}$ trons de diferentes energias precipitados na atmosfera.

gião F. Elétrons com energias entre aproximadamente 5 keV e 50 keV têm pi co de ionização na região E da ionosfera. Embora elétrons com energia aci ma de 50 keV tenham seu pico de ionização na região D, eles também contribuem para a produção de pares de ions na região E, sendo que essa contribuição decresce com o aumento da energia.



qz/5(pares de lons /eletron incidente.cm) Fig. III.2 - Taxa de produção, por unidade de volume, por fluxo unitário de elétrons incidentes para diferentes valores da energia inicial.

TABELA III.1

| ENERGIA (keV) | ALTURA (km) |
|---------------|-------------|
| 1 | 175 |
| 2 | 145 |
| 5 | 120 |
| 10 | 107 |
| 20 | 99 |
| 30 | 95 |
| 40 | 92 |
| 60 | 88 |
| 80 | 85 |
| 100 | 83 |
| 150 | 79 ' |
| 200 | 76 |
| 250 | 74 |
| 300 | 72 |

De posse desses valores calculados é possível obter a produ ção total devido a elétrons de todas as energias compreendidas no intervalo considerado e em qualquer altura entre 60 km e 200 km, usando um dado es pectro de energia de elétrons. O espectro de energia usado para o calculo da produção total de pares de ions foi o observado pelos satélites DISCOVERER 29 e 31, na região da Anomalia do Atlântico Sul a alturas entre, 160 e 560 km e é constituído, provavelmente, de elétrons que estão deixando o cinturão interno de Van Allen, devido ao espalhamento pelo ar (Mann et al., 1963).

Na ausência de medidas para eletrons de baixas energias foi feita uma extrapolação do fluxo de eletrons apresentado por Mann et al., considerando-se uma variação exponencial desse fluxo, da forma

$$J = J_0 \exp \left(-E/E_0\right) \tag{III.3}$$

sendo $J_0 = 1,6548 \times 10^3$ elétrons/cm².seg.ster.keV, fluxo total $E_0 = 57,8$ keV, "energia característica" J = fluxo de elétrons com energia E

Dessa maneira, os fluxos de energia usados nos cálculos são da forma

$$J = 1,6548 \times 10^3 \exp(-E/E_0)$$
 (III.4)

para varios valores de E_0 , considerando que o fluxo total J_0 não deve variar.

Usando a Equação III.4 e as taxas de produção por unidade de volume, por fluxo unitário de elétrons incidentes mostradas na Figura II.2, foi calculada a taxa de produção total de pares de ions por unidade de volume em alturas entre 60 km e 200 km, para vários valores de $\rm E_{o}$. Qua tro dessas taxas de produção por unidade de volume são mostradas na Figura III.3.

Levando-se em conta a produção obtida, e a perda por recomb<u>i</u> nação calcula-se a densidade eletrônica na região de interesse.

$$N = (q/\alpha)^{1/2} \tag{III.5}$$

onde α ē o coeficiente de recombinação.

Os valores de α usados entre 80 e 90 km foram os calculados por Reid (1970) usando concentrações de elétrons medidas por foguetes, du rante tempo quieto, e em latitude média. Acima de 90 km o coeficiente de recombinação não varia muito. Foi usado o valor de 2 x 10^{-7} cm 3 /seg que es tã de acordo com os valores obtidos por Mitra (1968), Belrose et al.(1972) durante a eclipse solar de 7 de março de 1970 e de Smith et al. (1965) obtidos durante a eclipse de 20 de julho de 1963.

Com esses valores para o coeficiente de recombinação e usan do as várias taxas de produção de elétrons, foram calculados perfis de den

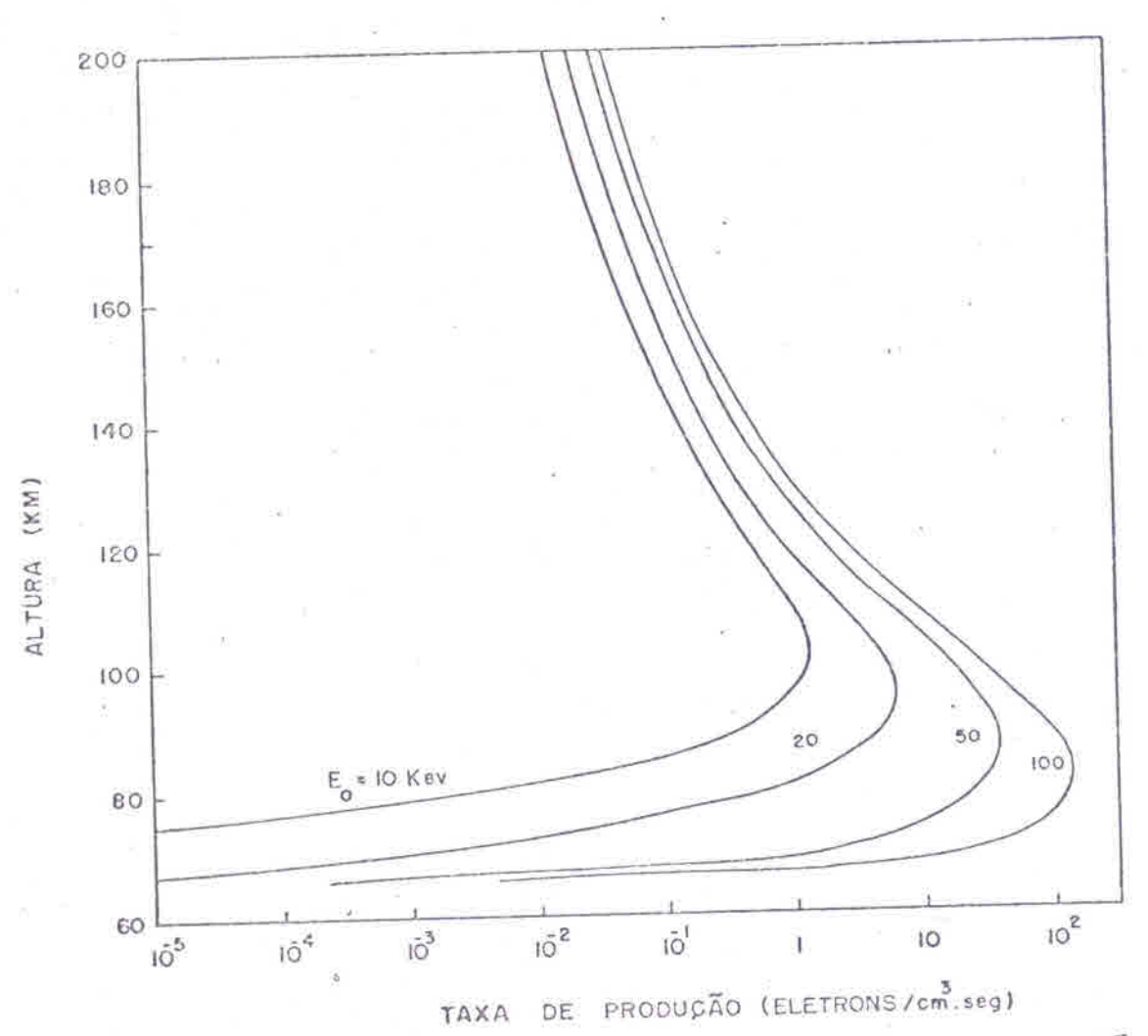


Fig. III.3 - Taxas de produção de pares de ions para um fluxo de elétrons $J=1,6548 \times 10^3 \exp{(-E/E_0)}$, para vários valores de E $_0$

sidade eletrônica devido à ionização produzida por eletrons monoenergeticos entre 1 keV e 300 keV considerando-se vários fluxos da forma dada pela <u>E</u> quação III.4. Esses perfis são apresentados na Figura III.4.

3.3 - FORMAÇÃO DA CAMADA E - ESPORÁDICA

Ja é bem aceito o fato de que a camada E esporadica tipo q esta intimamente relacionada com o eletrojato equatorial e, embora certos detalhes do mecanismo envolvido ainda não estejam bem claros é apropriado estabelecer o eletrojato equatorial como a causa e a E esporadica tipo q como a consequência. Em latitudes médias, como ja foi dito anteriormente, a teoria dos ventos de cisalhamento é a mais largamente difundida e aceita, ja tendo inclusive confirmações experimentais. Nas regiões aurorais ja é bem estabelecido que o bombardeamento por partículas precipitadas é a cau sa da camada E esporadica.

No presente estudo e empregada a teoria dos ventos de cisa lhamento para o calculo dos perfis de densidade eletrônica da camada E es poradica nessa região. Esta teoria ja foi bem desenvolvida (Whitehead, 1962; Axford, 1963; Storey e Herse, 1963) e consiste, basicamente, no fato de que um vento de cisalhamento horizontal, na presença do campo magnético ter restre, leva a movimentos verticais de ions e eletrons que dão origem a formação de camadas finas de ionização. O processo de formação de uma cama da pela teoria do vento de cisalhamento é ilustrado na Figura III.5. Na fi

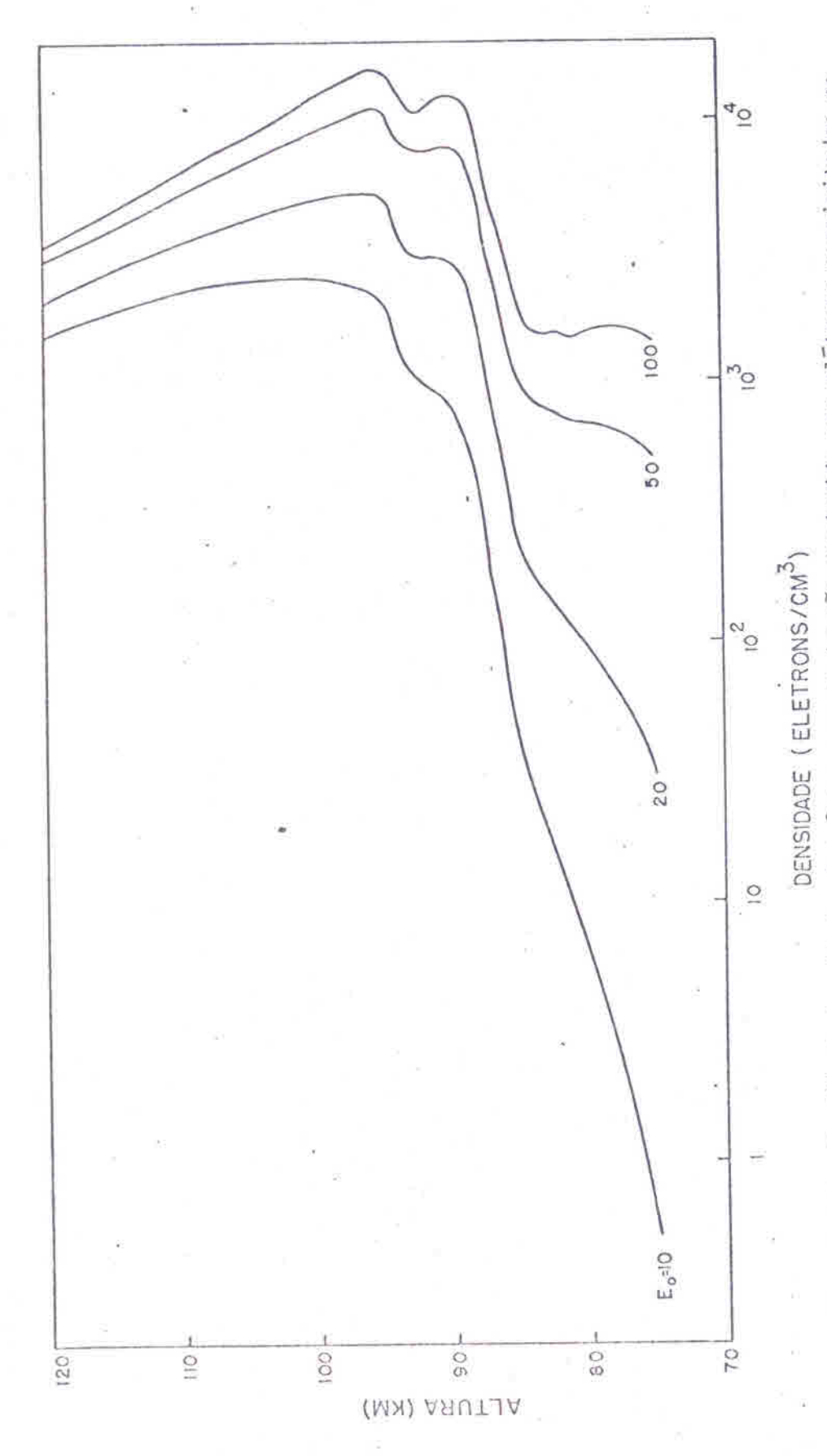


Fig. III.4 - Perfil de densidade eletrônica com ionização produzida por elétrons precipitados no intervalo de energia l keV $_{\rm S}$ E $_{\rm S}$ 300 keV e fluxo dado por J = 1,4568 exp (-E/E $_{\rm o}$) elétrons/cm².s ster.keV.

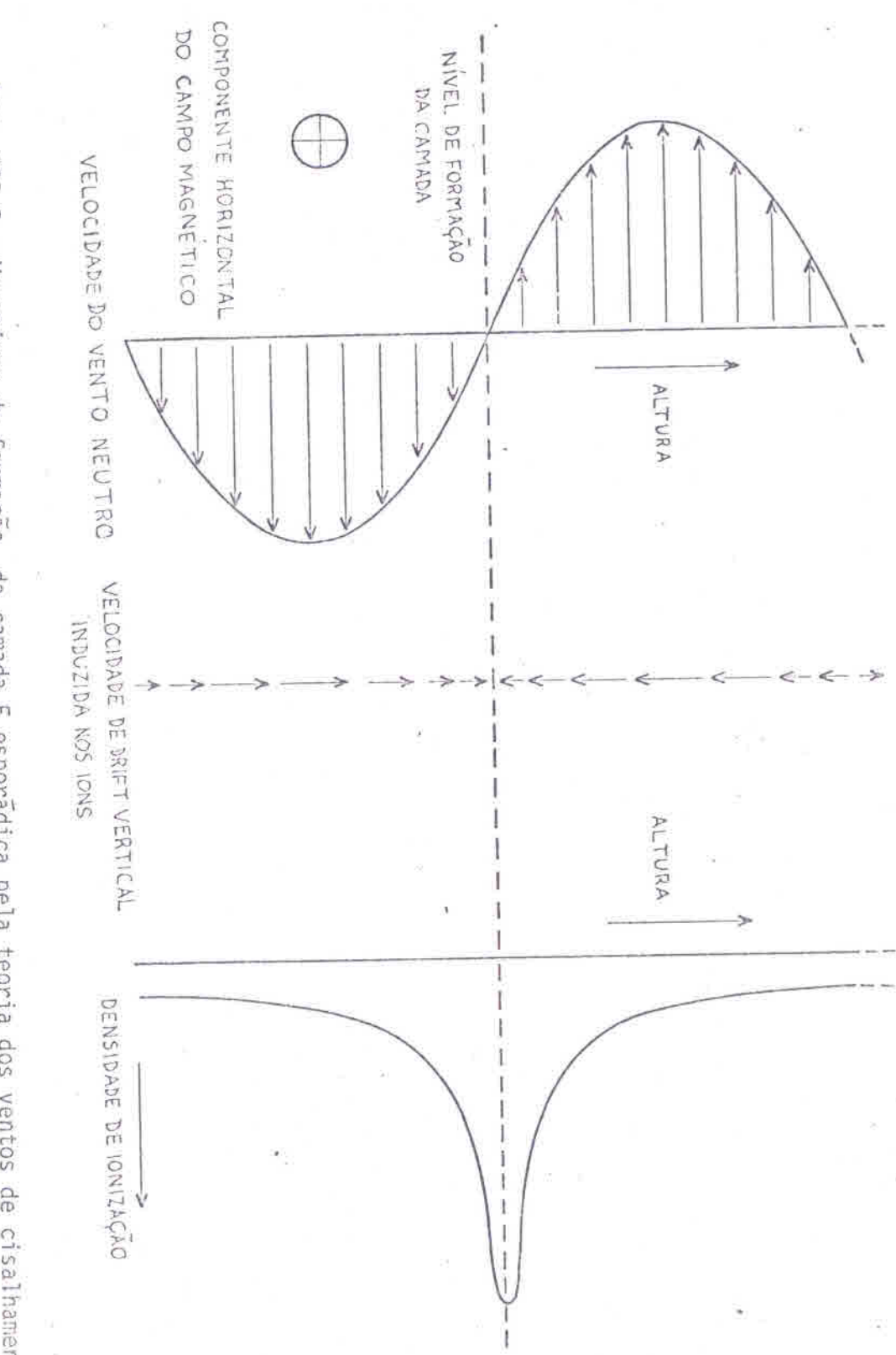


Fig. III.5 - Mecanismo de formação da camada E esporadica pela teoria dos ventos de cisalhamento.

gura a componente horizontal do campo magnético terrestre está entrando no plano do papel. Deve-se salientar que, além de ventos horizontais, há ou tros tipos de mecanismos que são capazes de induzir um movimento vertical de ionização, como por exemplo, campos elétricos de polarização horizontal e a força da gravidade. Porém nenhum desses fatores será considerado aqui. De acordo com Storey e Hersé (1963) estes fatores não desempenham papel im portante na formação da camada E-esporádica, implicando apenas em distorção das camadas pelos ventos de cisalhamento.

A equação da continuidade que governa o perfil de densidade eletrônica na região E e

$$\frac{\partial N}{\partial t} = q - \alpha N^2 - \frac{\partial F}{\partial z}$$
 (III.6)

onde téo tempo, zéa altura, Na densidade eletrônica, qéa taxa de produção de pares elétron-ion por unidade de volume, a éo coeficiente de recombinação e Féo fluxo vertical das partículas ou seja, o número de pares elétron-ion que se move verticalmente através de uma área horizontal unitária, em um tempo unitário. São feitas várias simplificações assumindo que a ionosfera é uniforme horizontalmente, contém apenas um tipo de ion positivo e que os elétrons livres desaparecem por recombinação com os ions de acordo com uma lei quadrática.

Se não houvesse drifts a densidade de eletrons no equilibrio seria dada por uma equação do tipo da Equação III.5 $N_{0}=\left(q/\alpha\right)^{1/2}$, onde N_{0} , em geral varia com a altura pois tanto q como α variam.

Na presença de drifts a densidade eletrônica de equilíbrio difere de N $_{
m o}$ e $m ar{e}$ dada por

$$c(N^2 - N_0^2) + \frac{3F}{37} = 0$$
 (III.6a)

O fluxo vertical de ionização e

$$F = NV_1$$
 (III.7)

onde V_1 \tilde{e} a velocidade de drift total dada pela soma da velocidade de drift induzida pelo vento e a velocidade devido \tilde{a} difus \tilde{a} o, ou seja:

$$V_1 = V - D \frac{d}{dz} \ell n(TN) \tag{III.8}$$

onde V é a velocidade de "drift" induzida, D é o coeficiente de difusão am bipolar de ionização na direção vertical e T é a temperatura. Combinando as Equações III.7 e III.8 o fluxo vertical fica

$$F = N\{V - D \frac{d}{dz} \ell n(TN)\}$$
 (III.9)

e a Equação III.6(a) fica

$$\alpha(N^2 - N_0^2) + \frac{d}{dz} \{NV - ND \frac{d}{dz} \ell n TN\}$$
 (III.10)

Agora, se o coeficiente de difusão D e a temperatura T são assumidos constantes, a Equação III.10 toma a forma

$$\alpha(N^2 - N_0^2) - D - \frac{d^2N}{dz^2} + \frac{d}{dz} (NV) = 0$$
 (III.11)

O primeiro termo da Equação III.]] representa a taxa de de crescimo da densidade eletrônica na altura devido ao excesso de recombinação de pares elétron-ion sobre a produção; o segundo termo representa a perda por difusão e o terceiro termo expressa a perda devido ao drift vertical induzido.

A Equação III.ll é uma equação diferencial de 2a. ordem, não linear em N, cuja solução analítica, no caso geral em que todos os termos são finitos, é difícil. Os casos especiais em que

a) o termo de difusão é zero;

- b) o termo devido ao excesso de recombinação e zero;
- c) o termo devido ao excesso de recombinação e infinitesimal;

são simplificações que permitem solução analítica para a equação.

No caso do item c, a expressão geral para o perfil de densi dade eletrônica é

$$N = N_0 - \frac{\exp(D^{-1} \Phi)}{(\exp(2D^{-1} \Phi))^{1/2}}$$
 (III.12)

onde:

$$\Phi(z) = \begin{cases} z \\ V(\xi) \ d\xi \end{cases}$$
 (III.13)

A expressão III.12 é derivada no apêndice B, bem como a <u>ex</u> pressão para o perfil de densidade eletrônica com o termo devido ao excesso de recombinação nulo. Uma comparação entre as duas expressões mostra que ambas possuem a mesma forma, mas diferem no nível absoluto de ionização. Evidentemente o ponto que interessa é o significado físico dessa diferença que existe entre os perfis de densidade eletrônica para o mesmo perfil de drift induzido e o mesmo valor do coeficiente de difusão D. Uma das solu

ções \tilde{e} obtida considerando o termo de excesso de recombinação igual a zero enquanto que a outra \tilde{e} o limite, quando esse mesmo termo tende a zero, da solução no caso geral quando ambos os termos de excesso de recombinação e difusão são finitos. De ponto de vista matemático não há nenhuma surpresa em se obter soluções diferentes nesses dois casos. O significado físico pode ser entendido considerando a maneira pela qual o equilíbrio \tilde{e} atingido. Para isso \tilde{e} necessário considerar o que acontece se um sistema de "drifts" \tilde{e} induzido subitamente em uma região onde a ionização \tilde{e} inicialmente uniforme \tilde{e} está em equilíbrio. Suponha que o coeficiente de recombinação \tilde{e} muito pequeno, mas finito \tilde{e} a densidade inicial uniforme \tilde{e} N_o . A consequência imediata será a formação de uma camada \tilde{e} esporadica, cujo perfil estara bem próximo do obtido quando se resolve o problema considerando apenas o termo de difusão, pois a constante de tempo de recombinação para ionização de densidade \tilde{e} o \tilde{e} inversamente proporcional \tilde{e} densidade \tilde{e} ao coeficiente de recombinação (Whitehead, 1966)

$$T_{\alpha} = \frac{1}{\alpha N_{\alpha}} \tag{111.14}$$

Porem, uma vez que a camada está formada, a densidade acumu lada em seu pico causa um aumento na taxa media de recombinação e a camada começa a decair, como um todo, retendo sua forma ediminuindo a quantidade total de ionização. Este decaimento da camada atingirá um ponto tal que o decrescimo de ionização não pode prosseguir pois é balanceado pela formação de nova ionização e nesse caso, o perfil de densidade eletrônica será dado

pela solução com o termo de difusão mais um termo infinitesimal do excesso de recombinação, representando um estado final de equilibrio verdadeiro que so é atingido apos um intervalo de tempo longo.

Consideremos um perfil de "drift" induzido sinusoidal, com a velocidade vertical dos ions dada por

$$V(z) = -V_0 \operatorname{sen} \left(\frac{2\pi z}{\lambda}\right)$$
 (III.15)

onde:

V - ē a velocidade de drift induzida

V - ē a amplitude da componente periodica de V(z)

z - ē a altura

 λ - \tilde{e} o comprimento de onda da componente periodica de V(z)

Introduzindo a Equação III.15 na Equação III.13 e resolvendo a integral vem:

$$\phi(z) = \frac{V_0 \lambda}{2\pi} \left[\cos \left(\frac{2\pi z}{\lambda} \right) - 1 \right]$$
 (III.16)

Portanto, o perfil de densidade eletrônica, Equação III.12 com a substituição da expressão III.16 fica

$$N = N_0 \frac{\exp\left[\frac{V_0 \lambda D^{-1}}{2\pi} \left(\cos\frac{2\pi z}{\lambda} - 1\right)\right]}{\left\{\exp\left[\frac{V_0 \lambda D^{-1}}{\pi} \left(\cos\frac{2\pi z}{\lambda} - 1\right)\right]\right\}^{1/2}}$$
(III.17)

O denominador da expressão III.17 pode ser escrito em uma forma mais simples resolvendo-se

$$\exp\left[\frac{V_0 \lambda D^{-1}}{\Pi} \left(\cos \frac{2\pi z}{\Pi} - 1\right)\right] = \frac{1}{\lambda} \begin{cases} \lambda/2 \\ \exp\left[\frac{V_0 \lambda D^{-1}}{\Pi} \left(\cos \frac{2\pi z}{\lambda} - 1\right)\right] dz$$

$$= \frac{2}{\lambda} \exp \left(-\frac{V_0 \lambda D^{-1}}{\pi}\right) \begin{cases} \lambda/2 \\ \exp \left(-\frac{V_0 \lambda D^{-1}}{\pi} \cos \frac{2\pi z}{\lambda}\right) dz$$

= exp
$$\left(-\frac{V_0 \lambda D^{-1}}{\Pi} \right) I_0 \left(-\frac{V_0 \lambda D^{-1}}{\Pi} \right)$$

A Equação III.17 fica

$$N = N_0 - \frac{\exp\left[\frac{V_0 \lambda D^{-1}}{2\pi} \cos \frac{2\pi z}{\lambda}\right]}{\left[I_0 \left(\frac{V_0 \lambda D^{-1}}{\pi}\right)\right]^{1/2}}$$
(III.18)

que fornece o perfil de densidade eletrônica da camada E es porádica.

Para encontrar o perfil de densidade eletrônica o procedimento usado $\tilde{\mathbf{e}}$ o seguinte:

A equação III.6 , com fluxo vertical de partículas nulo (Apêndice B) fica:

$$\frac{\partial N}{\partial t} = q - \alpha N^2$$
 (III.19)

como cada termo da Equação III.19 depende, em geral, da altura, integração em z leva a

$$\frac{\partial}{\partial t} \int Ndz = \int qdz - \alpha \int N^2dz$$

fazendo
$$N_T = \begin{cases} Ndz & vem \end{cases}$$

$$\frac{\partial N_T}{\partial t} = \int qdz - \alpha \int N^2 dz$$

ou

$$N_{Ti} = N_{Ti-1} + \Delta t \left[\int qdz - \alpha \int N_{i-1}^2 dz \right]$$
 (III.20)

onde N_{Ti} e N_{Ti-1} são as densidades nos instantes i e i-l respectivamente.

A densidade eletrônica em uma altura qualquer, no instante de tempo i-l pode ser obtida a partir da taxa de produção conhecida nessa mesma altura e é dada por $N_{j-1}=\left(q/\alpha\right)^{1/2}$. No intervalo de altura considerado a densidade total, no mesmo instante de tempo serã

$$N_{T_{i-1}} = \begin{cases} N_{i-1} & dz \end{cases}$$
 (III.21)

A densidade de elétrons no equilibrio, na ausência de "drifts", é tomada como o valor médio da densidade no intervalo de altura considerado

$$N_0 = N_{i-1} = \frac{N_{i-1}}{\Lambda_2}$$
 (III.22)

Usando-se a Equação III.22 calcula-se o perfil de densidade eletrônica da camada E esporádica dado pela Equação III.18 e estes valores de N(z) são usados para calcular uma nova densidade total no instante de tempo i, N_{Ti}, com o auxílio da Equação III.20. Os valores de N_{Ti} e N_{Ti-1} são então comparados, e é usada uma iteração para fazer sua diferença ten der para zero pois, de acordo com o método adotado, o termo de excesso de recombinação $\int qdz - \alpha \int N^2 dz$ deve ser infinitesimal.

Sumarizando, os passos seguidos na iteração são:

a)
$$N_{i-1} = (q/\alpha)^{1/2}$$
 q taxa de produção dada

b)
$$N_{T_{i-1}} = \int N_{i-1} dz$$

c)
$$N_0 = \frac{N_{Ti-1}}{\Delta z}$$

d)
$$N(z) = N_0$$

$$\frac{\exp\left[\frac{V_0 \lambda D^{-1}}{2\pi} \cos \frac{2\pi z}{\lambda}\right]}{\left[I_0 \left(\frac{V_0 \lambda D^{-1}}{\pi}\right)\right]^{1/2}}$$

e)
$$N_{T_i} = N_{T_{i-1}} + \Delta t \left[\int qdz - \alpha \int N_{i-1}^2(z) dz \right]$$

f) compara-se N_{Ti} com N_{Ti-1} . Se N_{Ti} - N_{Ti-1} > ϵ , onde ϵ $\bar{\epsilon}$ um valor arbitrariamente pequeno, toma-se um novo valor para N_{Ti-1} , ou seja $N_{Ti-1} = N_{Ti}$ e volta-se ao item (c) para novos calculos. Se N_{Ti} - $N_{Ti-1} \leqslant \epsilon$ a aproxima ção desejada foi obtida, e o perfil calculado no item (d) $\bar{\epsilon}$ o perfil de densidade eletrônica da camada $\bar{\epsilon}$ esporadica.

O valor adotado para o coeficiente de difusão, foi tirado de Banks e Kockarts (1973) assumindo colisão elástica de ions com partículas neutras, sendo que na altura considerada as principais colisões são entre ions de oxigênio molecular $(0 \\ 2)$ e moléculas de Nitrogênio (N_2) .

$$D = 2.5 \times 10^8 / n(N_2) \text{ cm}^2 / \text{seg}$$
 (III.23)

Coerente com o fato de D ter sido assumido constante, a den

sidade de N_2 foi considerada constante dentro do intervalo de altura de interesse.

A amplitude V_0 da velocidade V(z) foi retirada de Axford (1963) e \tilde{e} diretamente proporcional \tilde{a} amplitude U_0 de vento zonal neutro (leste-oeste)

$$V_0 = |CU_0|$$
 (III.24)

onde:

 $C = \frac{A_1}{A_2}$, A_1 e A_2 dados pelas expressões:

$$A_{1} = \frac{R_{e} (R_{e}^{Z - XY})}{Y^{2} + R_{e}^{2}} - \frac{R_{i} (R_{i}^{Z - XY})}{Y^{2} + R_{i}^{2}}$$
(III.25)

$$A_{2} = R_{e} \left(\frac{R_{e}^{2} + 1}{Y^{2} + R_{e}^{2}} \right) - R_{i} \left(\frac{R_{i}^{2} + 1}{Y^{2} + R_{i}^{2}} \right)$$
 (III.26)

$$X = \frac{B_x}{B_0}$$
, $Y = \frac{B_y}{B_0}$, $Z = \frac{B_z}{B_0}$, com B_x , B_y , B_z sendo as componentes de campo geomagnético B em um sistema de coordenadas cartesianas (x,y,z) , y sendo o eixo vertical, x a direção do vento neutro B_0 a magnitude de B .

Os valores das frequências de colisão dos ions e elétrons com partículas neutras foram retiradas de Banks e Kockarts (1973)

$$v_e = 1.8 \times 10^8 p seg^{-1}$$

$$v_i = 1.11 \times 10^{-9} \text{ n(N}_2) \text{ seg}^{-1}$$

onde p \tilde{e} a pressão do ar dada em Torr e n(N₂) \tilde{e} a densidade numerica de N \underline{i} trogênio molecular dada em cm⁻³.

Os perfis de densidade eletrônica da camada E esporadica four 100 ram calculados usando dois diferentes coeficientes de recombinação:

$$\alpha = 10^{-7} \text{ cm}^3/\text{s}$$
 para os ions moleculares
 $\alpha = 3 \times 10^{-8} \text{ cm}^3/\text{s}$ para ions metálicos

Estes são os valores geralmente encontrados na literatura (Cole e Norton, 1966).

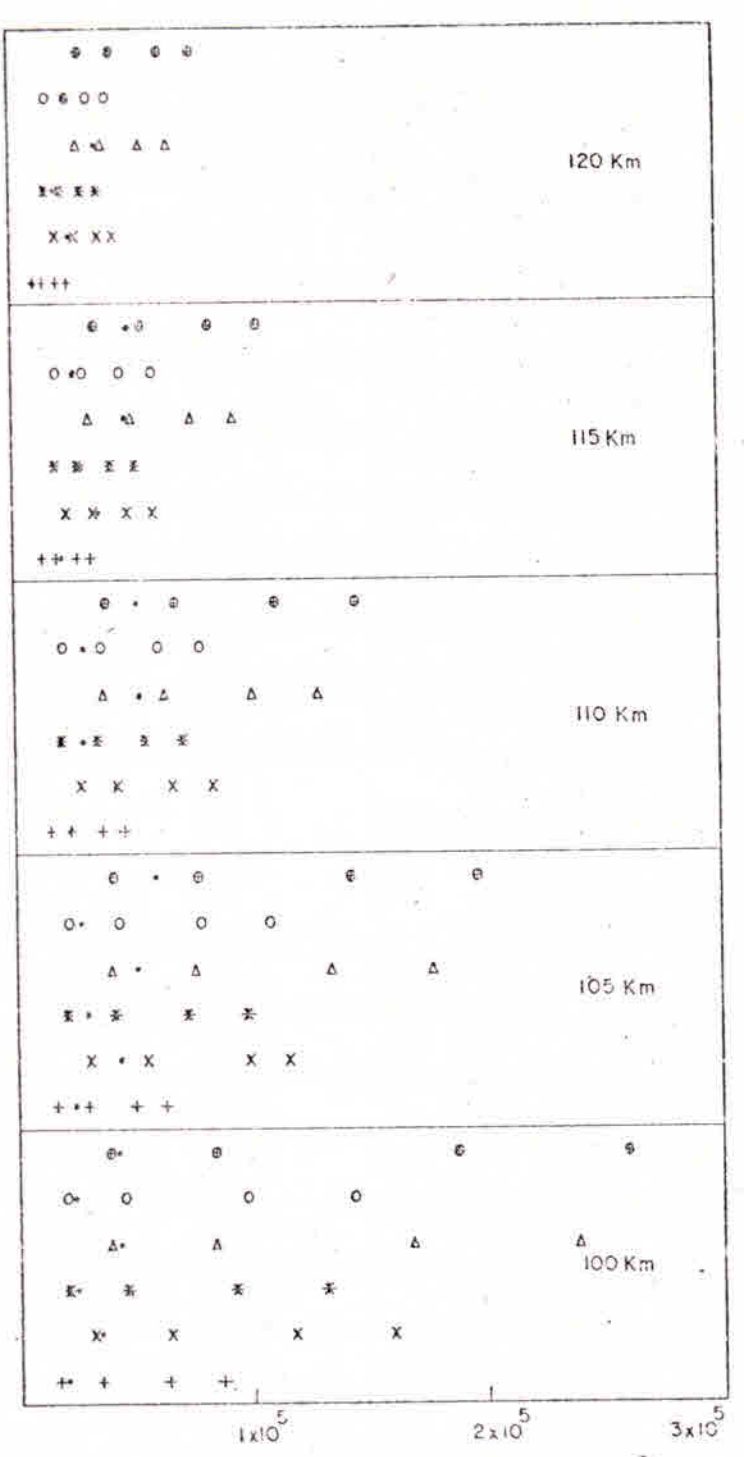
Foram considerados perfis de vento com três diferentes com primentos de onda ou seja: λ = 6,24 e 30 km, para varias altitudes: 100 km, 105 km, 110 km, 115 km e 120 km e as amplitudes de velocidade do vento neu tro usadas foram 50 m/s, 100 m/s, 150 m/s e 200 m/s.

Para os calculos foram usadas ainda, diferentes taxas de produção:

- i) taxas de produção devido a eletrons precipitados calculadas no $p\underline{a}$ rágrafo (3.2).
- ii) taxa de produção à noite devido à radiação UV espalhada, tirada de Tohmatsu e Wakai (1970)
- iii) taxa de produção durante o dia devido a raios-X, HLy-α HLy-β, tir<u>a</u> das de Swider (1969) para condições quietas.

Os resultados obtidos são apresentados e analisados a seguir.

A Figura III.6 mostra valores de densidade eletrônica máxima para vários dos parâmetros acima citados. Cada símbolo representa uma combinação diferente do comprimento de onda vertical e do coeficiente de recombinação conforme a tabela ao lado da figura. As densidades eletrônicas máximas são mostradas para diferentes alturas de formação do pico da cama da E esporádica. Em cada linha os quatro símbolos iguais correspondem a



| ×. | y(KW) | eclom3/st |
|----|-------|---------------------|
| + | 6 | 10-7 |
| х | | 3 x 10 ⁸ |
| *. | 24 | 107 |
| Δ | 24 | 3 x 10 ⁸ |
| 0 | 30 | 107 |
| 0 | 30 | 3 x 108 |

DENSIDADE MAXIMA (ELETRONS/CM3)

Fig. III.6 - Densidade eletrônica máxima de uma camada E_s com pico em 100, 105, 110, 115 e 120 km para vários valores de λ e α (velocidade do vento neutro = 100 m/s)

quatro diferentes taxas de produção devido a elétrons precipitados calculadas no parágrafo 3.2, para $\rm E_{o}=10$, 20,50 e 100 Kev respectivamente, começando da esquerda para a direita. O ponto em cada linha representa a densidade eletrônica máxima correspondente a uma taxa de produção a noite devido a radiação UV espalhada, para os mesmos parâmetros λ e a correspondentes a linha. Como podemos verificar pela figura, a densidade eletrônica devido a produção de ionização a noite por radiação ultra violeta espalhada (Ly - β) é menor que a densidade eletrônica devido a produção de ionização por elétrons precipitados, exceto para valores mais baixos de $\rm E_{o}$. Na verdade, um valor de $\rm E_{o}$ igual a 20 kev jã é suficiente para originar uma taxa de produção que dê uma densidade eletrônica máxima a altura de 100 km, superior aquela devido a Ly- β a mesma altura.

A Tabela III.2 fornece valores de densidade eletrônica máxima usando taxa de produção durante o dia segundo Swider (1969), para velocidade do vento neutro 100 m/s. Comparando os valores dessa tabela com aque les da Figura III.6 vê-se que, durante o dia, a ionização devido à radiação solar tem um efeito muito mais importante que a ionização produzida por elétrons precipitados, podendo-se inclusive considerar despresível o efeito dessa última no cálculo do perfil de densidade da camada E esporádica du rante o dia. Assim, o efeito dos elétrons precipitados so é sentido à noite quando a ionização devido a outras fontes é insuficiente para justificar a densidade eletrônica máxima observada para a camada E esporádica.

TABELA III.2

| ALTURA DE IONIZAÇÃO MÁXIMA (km) | λ (km) | α (cm ³ /s) | Nmax (ELETRONS/cm ³) |
|--|--------|------------------------|-------------------------------------|
| | 6 | 10 ⁻⁷ | 5,74 x 10 ⁵ |
| | | 3 x 10 ⁻⁸ | 1,04 x 10 ⁶ |
| 100 | 24 | 10-7 | 6,30 x 10 ⁵ |
| . +8 | Fo! | 3 x 10 ⁻⁸ | 1,15 x 10 ⁶ |
| | 30 | 10-7 | 6,29 x 10 ⁵ |
| | | 3 x 10 ⁻⁸ | 1,15 x 10 ⁶ |
| | 6 | 10-7 | 6,18 x 10 ⁵ |
| | | 3 x 10 ⁻⁸ | 1,13 x 10 ⁶ |
| 105 | 24 | 10 ⁻⁷ | 7,82 x 10 ⁵ |
| | | 3 x 10 ⁻⁸ | 1,43 x 10 ⁶ |
| | 30 | 10 ⁻⁷ | 7,73 x 10 ⁵ |
| | | 3 x 10 ⁻⁸ | 1,41 × 10 ⁶ |
| | 6 | 10-7 | 6,16 x 10 ⁵ |
| | | 3 x 10 ⁻⁸ | 1,12 x 10 ⁶ |
| 110 | 24 | 10-7 | 8,64 x 10 ⁵ |
| | #30 | 3 x 10 ⁻⁸ | 1,58 x 10 ⁶ |
| | 200 | 10-7 | 8,82 x 10 ⁵ |
| | 30 | 3 x 10 ⁻⁸ | 1,61 x 10 ⁶ |

| ALTURA DE IONIZAÇÃO MÃXIMA (km) | λ (km) | α (cm ³ /s) | Nmax (ELETRONS/cm ³) |
|---------------------------------|--------|------------------------|-------------------------------------|
| | 6 | 10-7 | 6,10 x 10 ⁵ |
| | | 3 x 10 ⁻⁸ | 1,11 x 10 ⁶ |
| 115 | 24 | 10-7 | 8,62 x 10 ⁵ |
| | | 3 x 10 ⁻⁸ | 1,57 x 10 ⁶ |
| | 30 | 10-7 | 9,12 x 10 ⁵ |
| | | 3 x 10 ⁻⁸ | 1,66 x 10 ⁶ |
| | 6 | 10-7 | 5,94 x 10 ⁵ |
| | | 3 x 10 ⁻⁸ | 1,08 x 10 ⁶ |
| AT ACCOUNT | 24 | 10 ⁻⁷ | 8,41 x 10 ⁵ |
| 120 | | 3 x 10 ⁻⁸ | 1,53 x 10 ⁶ |
| | 30 | 10-7 | 8,89 x 10 ⁵ |
| | | 3 x 10 ⁻⁸ | 1,62 x 10 ⁶ |

A densidade eletrônica máxima da camada E esporadica observada nessa região, pode ser calculada pela expressão II.1, usando-se os valores da frequência de blanketing retirados dos ionogramas. A noite o valor médio de f_b E_s fica em torno de 3 MHz, fornecendo um valor de densidade

eletrônica no pico da camada de, aproximadamente 10⁵ elétrons/cm³. Como jã foi dito anteriormente, a ionização devido à Ly-β e insuficiente para ex plicar este valor de densidade máxima, para todas as combinações de parâme tros consideradas no presente estudo. Outra fonte deve ser postulada e es ta fonte de ionização à noite são elétrons precipitados.

Como podemos ver pela Figura III.6, uma camada Es com pico de ionização a 100 km, e velocidade do vento igual a 100 m/s, formada por ions moleculares ($\alpha=10^{-7}~{\rm cm}^3/{\rm s}$) số explica a camada observada à noite na região de Cachoeira Paulista se são usados valores altos de ${\rm E_0}$ e, consequentemente um alto fluxo de elétrons precipitados. No entanto, uma camada formada por ions metálicos ($\alpha=3{\rm x}10^{-8}~{\rm cm}^3/{\rm s}$) explica os valores observados com um fluxo menor. Como uma camada E esporádica a essa altura é formada por ions metálicos (veja Goldberg, 1975) $_{\rm J}$ o fluxo mínimo de elétrons precipitados necessário para a sua formação é obtido para ${\rm E_0}=20~{\rm keV}$. Os. elétrons precipitados produzem pares elétron-ion, e os ions formados dão origem aos ions metálicos por um processo de transferência de carga (Narcisi, 1967).

Portanto, o fluxo minimo de eletrons precipitados, a noite, na região da Anomalia Geomagnética Brasileira é dado por

$$J = 1.6548 \times 10^{3} \exp(-E/20) eletrons/cm^{2}.s.ster.keV$$
 (III.27)

onde E é dado em keV.

Os perfis de densidade eletrônica da camada E_s para λ =30 km, α = 3 x 10^{-8} cm $^3/s$ e U_o = 100 m/s, para taxas de produção obtidas fazendo E_o = 10, 20, 50 e 100 keV e devido \tilde{a} radiação UV espalhada estão mostrados na Figura III.7.

A Figura III.8 mostra a variação da densidade máxima de $el\underline{e}$ trons da camada E_s com a velocidade do vento neutro. O valor de 100 m/s \underline{u} sado para o vento neutro \underline{e} um limite superior dos valores encontrados na literatura. Como a densidade máxima aumenta com a velocidade, valores menores de U_o acarretam valores menores de N_{max} , sendo assim necessários fl \underline{u} xos maiores para explicar as densidades observadas.

Esse valor minimo do fluxo está bastante coerente quando com parado com o obtido por Mann et al. (1963) para elétrons de 94 keV de energia. O fluxo medido é da ordem de 325 elétrons/cm 2 .seg. ster. keV, enquanto que o fornecido pelo espectro com $\rm E_{0}$ = 20 keV é de 15 elétrons/cm 2 .seg. ster. keV.

Embora não se tenha feito o estudo da ocorrência das camadas a diversas altitudes convem salientar que, à noite, as camadas acima de 110 km são bem menos frequentes que as que ocorrem a 100, 105 km. Pela Figura III.6 vê-se que são necessários valores maiores de Eo, e consequente mente, fluxo maior, para explicar a ocorrência dessas camadas acima de 110 km, daí sua menor ocorrência.

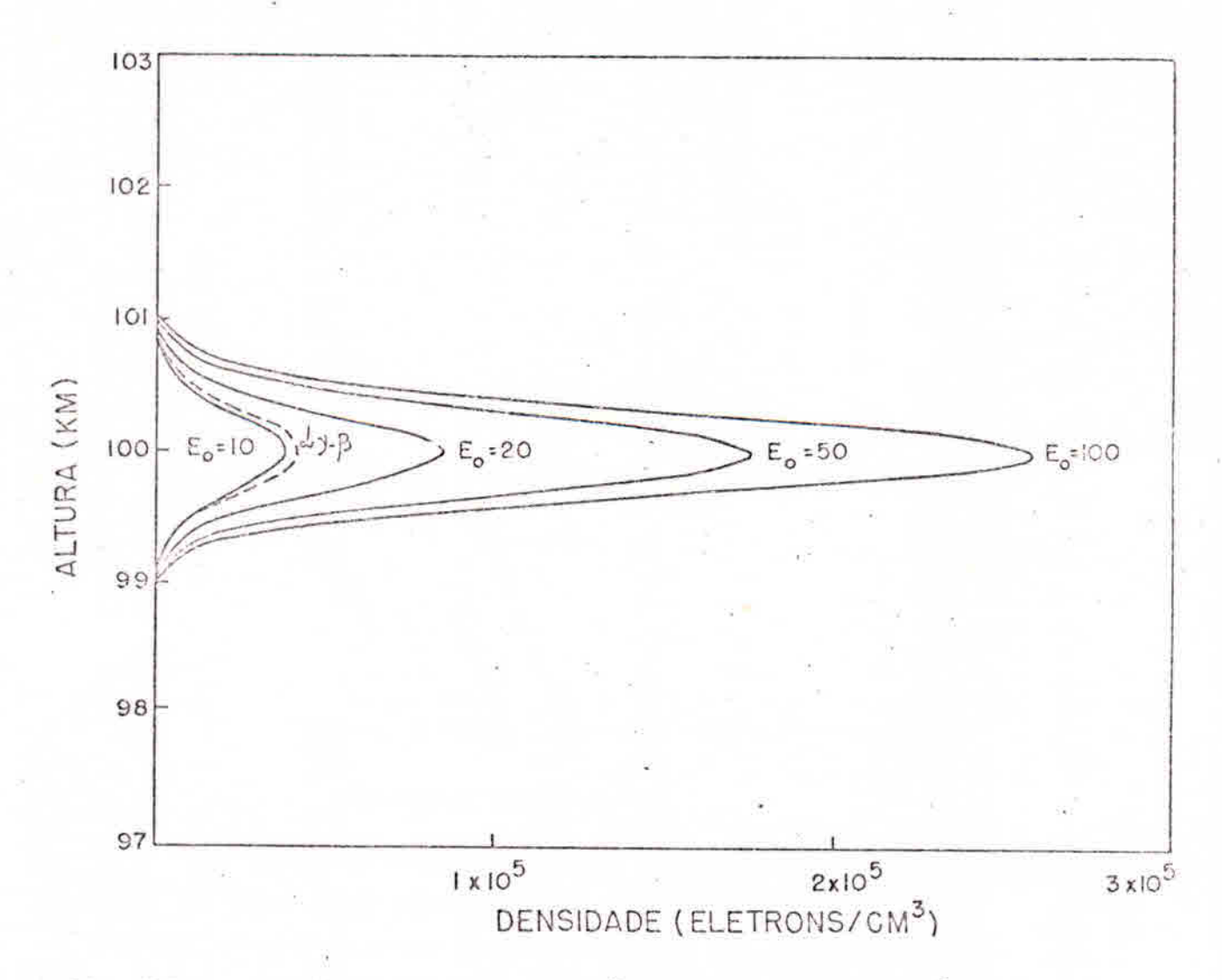


Fig. III.7 - Perfil de densidade eletrônica da camada E esporádica $\lambda = 30~\text{km}$ $\alpha = 3~\text{x}~10^{-8}~\text{cm}^3/\text{seg}$ $\text{U}_0 = 100~\text{m/s}$

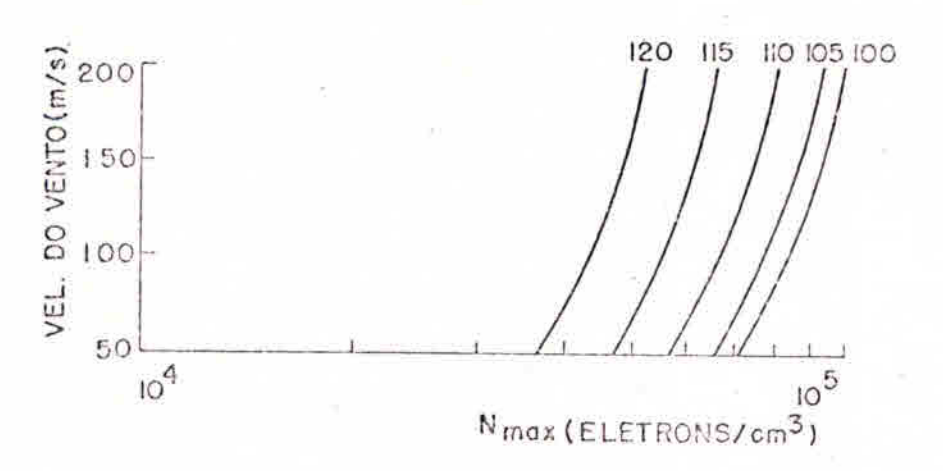


Fig. III.8 - Variação da densidade eletrônica máxima da camada E_s com a velocidade do vento neutro (λ =30 km, α = 3 x $10^{-8} cm^3/s$, E_o = 20 keV). O número sobre cada curva representa a altura de formação do pico da camada, dada em km.

Este estudo foi dedicado principalmente ao período noturno, porem, e conveniente fazer alguns comentarios sobre os resultados durante o dia, usando taxa de produção dada por Swider (1969) até 100 km, e produção considerada constante acima dessa altura. Essa comparação dos resultados teóricos e experimentais é mais difícil de ser feita pois exi giria um conhecimento preciso de todos os parâmetros em jogo, sobretudo da taxa de produção, da velocidade do vento neutro e do comprimento de onda ver tical λ. Durante o dia a camada E-esporadica ocorre mais frequentemente aci ma de 110 km. A essas alturas os ions moleculares são mais abundantes que os metálicos, devendo ser levados em conta para a formação de camadas E. Em torno do meio dia, no verão(Figura II.9) o valor medio da frequência de "blanketing" ē 4,25 MHz, dando, de acordo com a Equação II.1, uma densidade maxima de eletrons de 2,36 x 10⁵ eletrons/cm³. Porem os valores calculados pela teoria, usando-se os valores extremos considerados anteriormente, são da ordem de 9 x 10^5 elétrons/cm³ (λ = 30 km, U_o = 100 m/s) a uma altura de 120 km, que daria origem a uma camada E_s com frequência de "blanketing" da ordem de 8 MHz, valor raramente observado em nossos ionogramas. No entanto valores menores da velocidade do vento neutro e, consequentemente, realistas diminuem este valor calculado, aproximando-o mais do observado. Mas, como ja foi dito anteriormente, so poderia haver uma comparação real apos o conhecimento preciso dos parâmetros usados nos calculos.



CAPITULO IV

CONCLUSÕES

Dos resultados apresentados no capítulo II podemos concluir que a presença frequente da camada E esporádica à noite na região de Anoma lia Geomagnética Brasileira exige uma fonte de ionização para ser explicada.

Como foi visto no Capítulo III, a ionização noturna, devido à radiação UV espalhada pela geocorona, que $\tilde{\mathbf{e}}$ a $\tilde{\mathbf{u}}$ nica fonte de ionização à noite, reconhecida, a baixas latitudes, $\tilde{\mathbf{e}}$ insuficiente para explicar os valores de densidade máxima observados para a camada $\mathbf{E_s}$. Dos resultados do Capítulo III podemos concluir que a $\tilde{\mathbf{e}}$ esporadica observada à noite em nossa região pode ser explicada em termos da teoria dos ventos de cisalhamento, com taxa de produção devido a eletrons energeticos precipitados na atmosfera. A teoria foi usada com simplificações já referidas anteriormente: equilibrio, coeficiente de difusão constante dentro do comprimento de onda considerado, coeficiente de recombinação cosntante, perfil sinusoidal para as velocidades do vento neutro e dos ions.

Concluimos que um vento neutro com amplitude de 100 m/s e com primento de onda vertical de 30 km explica a camada E esporádica observada nesta região, à noite, na altura de 100 km, quando a ionização presente na ionosfera é devido a elétrons energéticos precipitados, com um flu

xo dado por

 $J = 1,6548 \times 10^3 \text{ exp } (-E/E_0) \text{ eletrons/cm}^2.seg.ster.keV}$

onde E_0 deve ser maior que 20 keV.

Como um vento neutro de 100 m/s $\tilde{\rm e}$ um dos maiores valores en contrados na literatura, o fluxo derivado acima, com E $_{\rm o}$ igual a 20 keV, es tabelece um limite mínimo de precipitação.

Este resultado para o fluxo mínimo está de acordo com valores encontrados na literatura. Assim, a ocorrência de E_s do tipo "blanketing" associada à alta frequência de ocorrência de E_s nessa região é uma evidência de precipitação de partículas na Anomalia Geomagnética Brasileira, durante tempo quieto.

Foram apresentados alguns resultados durante períodos geomag neticamente perturbados, para mostrar uma outra evidência da precipitação de partículas como causa do aumento da ionização na região E da ionosfera, na Anomalia. Os períodos perturbados serão analisados com mais detalhes em um estudo futuro procurando relacionar o aumento da frequência de "blanketing" da camada E esporádica alguns dias após a ocorrência de uma tempestade magnética do tipo SC com os elétrons que deixam o cinturão exter no de radiação por difusão durante a fase de recuperação do campo magnético,

apos a tempestade.

A camada E esporadica noturna e do tipo transparente ocorre muito mais frequentemente que o tipo "blanketing" de E_s , e não pode ser ex plicada pela teoria dos ventos de cisalhamento. Este fato, junto com as observações da ocorrência de E_s tipo <u>a</u> (auroral) vem dar maior suporte a presença de partículas precipitadas pois, nas regiões aurorais a camada E_s é devido à precipitação de partículas, \tilde{e} do tipo <u>a</u> e, em geral, transparente.

Não pode ser feita uma comparação entre os valores obtidos pela teoria dos ventos de cisalhamento e os observados durante o dia, por não conhecermos os valores assumidos, nessa região, pela velocidade do vento neutro, comprimento de onda vertical e outros parâmetros usados. O conhecimento desses parâmetros é indispensável para tais cálculos.



AGRADECIMENTOS

AO Dr. Mendonça e Dr. Gylvan pelo apoio.

Ao Dr. M. A. Abdu pela orientação e apoio constante e dedicado.

Ao Dr. D. B. Rai pelas sugestões e orientação inicial.

A todos que direta ou indiretamente colaboraram na realização deste trabalho.



BIBLIOGRAFIA

- ABDU, M.A., ANANTHAKRISHNAN, S., COUTINHO, E.F., KRISHNAN, B.A. and REIS, E.M.S. "Azimuthal Drift and Preciptation of Electrons into the South Atlantic Geomagnetic Anomaly during an SC Magnetic Storn". J. Geophys. Res., 78, 5830, 1973.
- AXFORD, W.I. "The Formation and Vertical Movement of Dense Ionized Layers in the Ionosphere Due to Neutral Wind Shears". J. Geophys. Res., 68, 769, 1963.
- BANKS, P. M. e KOCKARTS, G.L. Aeronomy. New York, Academic Press, 1973
- BELROSE, J.S., ROSS, D.B. and Mc NAMARA, A.G. "Ionization Charges in the Lower Ionosphere During the Solar Eclipse of 7 March 1970". J. Atmos. Terr. Physics, 34, 627, 1972
- COLE, K.D. and NORTON, R.B. "Some Problems Associated with Midlatitude Sporadic E". Radio Science, 1, 235, 1966.
- COSPAR, CIRA 1965. Amsterdam, North Holland.
- DUEÑO, B. "Sporadic E as Observed from Mayaguez, P.R., by Backscatter Sounders", In: SMITH Jr., E.K. and MATSUSHITA, S. *Ionospheric Sporadic E*. New York, Pergamon Press, 1962, p. 110-122
- GHIELMETTI, H.S., BECERRA, N.S., GORDELL, A.M., HEREDIE, M. and ROEDERER, J.G. - "Enhancement of X-Ray Intensity at Balloon Altitudes in the South American Anomaly". Phys. Rev. Lett., 12, 388, 1964

- GOLDBERG, R.A. "Silicon Ions below 100 km: A case for $S_1^0_2$ ". Radio Science, 10, 329, 1975
- HARRIS, R.D. and TAUR, R. "Influence of the Tidal Wind System on the Frequency of Sporadic-E Occurrence". Radio Science, 7, 405, 1972.
- HESS, W.N. The Radiation Belt and Magnetosphere. Waltham, Mass., Blaisdell Publishing Company, 1968
- Mac DOUGAL, J.W. "110 km Neutral Zonal Wind Patterns". Plan. Space Sci., 22, 545, 1974
- MANN, L. G., BLOOM, S. D. and WEST Jr., H.I. "The Electron Spectrum from 90 to 1200 keV, as Observed on Discoverer Satellites 29 and 31", In: PRIESTER, W. Space Research III. Amsterdam, North Holland Publishing Co., 1963, p. 447-462.
- MARTIN, I.M., RAY, D.B., da COSTA, J.M., PALMEIRA, R. and TRIVEDI, N.B. "Enhanced Electron Precipitation in Brazilian Magnetic Anomaly in
 Association With Sudden Commencement". Nature, 240, 84, 1972.
- MITRA, A.P. "A Review of D-Region Processes in non Polar Latitudes".

 J. Atmos. Terr. Phys. 30, 1065, 1968.
- NARCISI, R.S. "Processes Associated with Metal-Ion Layers in the E-Region of the Ionosphere". In: MITRA A.P., JACCHIA, L.G. and NEWMAN, W.S. Space Research VIII. Amsterdam, North Holland Publishing Co., 1967.p.360-369
- PIGGOTT, W. R. and RAWER, K., U.R.S.I. Handbook of Ionogram Interpretation and Reduction. 2. ed. Boulder, World Data Center A., 1972.

- PIZZELLA, G., LAUGHIN, C.D. and O'BRIEN, B.J. "Note on Electron Energy Spectrum in the Inner Van Allen Belt". J. Geophys. Res., 67, 3281, 1962.
- REES, M.H., "Auroral Ionization by Incident Energetic Electrons".

 Planet. Space Sci., 11, 1209, 1963.
- REID, G.C. "Productions and Loss of Electrons in the Quiet Daytime D-Region of the Ionosphere". J. Geophys. Res., 75, 2551, 1970.
- ROEDERER, J.G. Dynamics of Geomagnetically Trapped Radiation. Berlin, Springer-Verlag., 1970.
- SALAH, J.E., WAND, R.H. and EVANS, J.V. "Tidal Effects in the E-Region from Incoherent Scatter Radar Observations". Radio Science, 10, 347, 1975.
- SMITH, Jr., E.K. "The Occurrence of Sporadic E" In: SMITH Jr., E.K. and MATSUSHITA, S:, *Ionospheric Sporadic E*. New York, Pergamon Press, 1962 p.3-12.
- SMITH, L.G. "A Sequence of Rocket Observations of Night-Time Sporadic-E".
 J. Atmos. Terr. Phys; 32, 1247, 1970.
- SMITH, L. G., ACCARDO, C.A., WEEKS, L.H. and Mc KINNON, P.J.
 "Measuarements in the Ionosphere during the Solar Eclipse of 20 July

 1963". J. Atmos. Terr. Phys., 27, 803, 1965.
- STOREY, L.R.O. and HERSE, M. Equilibrium Electron Density Profiles in the Wind Shear Theory of Sporadic-E. La Source; CNRS., Sep. 1963 (Scientific Report, 1).

- SWIDER, Jr., W. "Ionization Rates due to the Attenuation of 1-100 A^o Nonflare Solar X Rays in the Terrestrial Atmosphere". Reviews of Geophys, 7, 573, 1969.
- TOHMATSU, T. and WAKAI, N. "An Investigation of Nightime Ionizing Sources in Low and Mid-latitudes". Ann. Geophys., 26, 209, 1970.
- VAN ALLEN, J.A. "Some General Aspects of Geomagnetically Trapped

 Radiation", In: Mc CORMAC, B.M. Radiation Trapped in the Earth's

 Magnetic Field. Dordrecht, D. Reidel Publishing Co. 1966. p. 65-75
- VERNOV, S.N., GORCHAKOV, E.V., SHAVRIN, P.I. and SHARVINA, K.N.
 "Radiation Belts in the Region of South Atlantic Magnetic Anomaly".

 Space Sci. Rev., 7, 490, 1967.
- WHITEHEAD, J.D. "The Formation of a Sporadic E Layer from a Vertical Gradient in Horizontal Wind", In: SMITH Jr., E.K. and MATSUSHITA S.

 Ionospheric Sporadic E. New York, Pergamon Press, 1962. p 276-291
- WULFF, A. and GLEDHILL, J.A. "Atmospheric Ionizations by Precipitated Electrons". J. Atmos. Terr. Phys., 36, 79, 1974.
- ZMUDA, A.J. "Ionization Enhancement from Van Allen Electrons in the South Atlantic Magnetic Anomaly". J. Geophys. Res., 71, 1911, 1966.

APÊNDICE-A

TIPOS DE E

Os tipos existentes de E_s são identificados por letras min \overline{us} culas que sugerem os nomes correspondentes. Alguns desses tipos são: f (flat), ℓ (low), c (cusp), h (high), q (equatorial) e a (auroral).

A descrição de cada um deles, de acordo com U.R.S.I. Handbook of Ionogram Interpretation and Reduction (1972) é a seguinte:

- f Um traço E_s que não apresenta nenhum aumento apreciável de altura com a frequência. O traço \tilde{e} , em geral, relativamente solido na maioria das latitudes onde \tilde{e} observado. Esta classificação so po de ser usada em períodos em que uma camada E espessa não seja fre quentemente observada, casos em que o traço, aparentemente do ti po f deve ser classificado, de acordo com sua altura virtual, como o ℓ ou h.
- <u>l</u> Um traço E_s <u>achatado</u> ocorrendo na mesma altura virtual minima da camada E normal ou abaixo, ou ainda abaixo da altura virtual minima da camada E à noite.
- C Um traço E_s mostrando uma curvatura relativamente simétrica em f_oE ou abaixo. É geralmente continuo com o traço E normal, embora quan do há muita absorção possa haver falta de parte e de toda a curvatura. (Ocorre geralmente durante o dia).

- \underline{h} Um traço \underline{E}_S mostrando uma descontinuidade em altura com o traço da camada E normal em $\underline{f}_0 \underline{E}$ ou acima. A curvatura não \underline{e} simétrica, sendo que a extremidade de baixa frequência do traço \underline{E}_S fica claramente acima da extremidade de alta frequência do traço \underline{E} normal. (Ocorre geralmente durante o dia).
- \underline{q} Um traço \underline{E}_S que \underline{e} difuso e transparente sobre um largo intervalo de frequência. O espalhamento \underline{e} mais pronunciado na extremidade superior do traço. (Este tipo \underline{e} comum durante o dia nas vizinhan ças do equador magnético).
- a Todos os tipos de traços muito difusos (espalhados) são combina dos no tipo auroral. Podem extender-se sobre varias centenas de quilômetros de altura virtual. Padrões típicos mostram um traço de base achatado ou suavemente inclinado, com traços estratifica dos que variam rapidamente com o tempo.

APENDICE B

PERFIL DE DENSIDADE ELETRÔNICA PARA OS CASOS COM O TERMO DE EXCESSO DE RECOMBINAÇÃO NULO E INFINITESIMAL

A equação geral para o perfil de densidade eletrônica da $c\underline{a}$ mada E esporadica, considerando o coeficiente de difusão D e a temperatura T constantes, \hat{e} dada por

$$\alpha (N^2 - N_0^2) - D \frac{d^2N}{dz^2} + \frac{d}{dz} (NV) = 0$$
 (B.1)

Quando apenas a difusão é considerada, a Equação B.l toma a forma simples de uma equação diferencial linear de 2a. ordem

$$- D \frac{d^2N}{dz^2} + \frac{d}{dz} (NV) = 0$$
 (B.2)

Integrando uma vez com respeito a z e rearranjando os termos obtem-se:

$$N[V - D \frac{d}{dz} (\ell n N)] = F$$
 (B.3)

onde F e uma constante de integração desconhecida. Comparando as Equações

B.3 e III.9 para T constante, obtém-se imediatamente que o fluxo vertical de ionização F é essa constante. Para um perfil de drift induzido simétrico, como será o caso analisado nesse estudo, o fluxo vertical de ionização F é zero, o que leva a

$$V = D - \frac{d}{dz} (\ell n N)$$
 (B.4)

e integrando com respeito a z

$$N(z) = N(o) \exp \left\{ \int_{0}^{z} D^{-1} V(\xi) d\xi \right\}$$
 (B.5)

onde N(z) \tilde{e} a densidade em uma altura z qualquer do perfil e N(o) \tilde{e} a den sidade na origem das alturas.

Como D está sendo tomado independente da altura

$$N(z) = N(0) \exp \left[D^{-1} \phi(z)\right]$$
 (B.6)

onde

$$\Phi(z) = \int_0^z V(\xi) d\xi$$
 (B.7)

A Equação B.6 determina a forma do perfil de densidade eletrônica porém não fixa seu nível absoluto. Tomando a ionização inicial uniforme igual a N_i e levando em conta que a ionização total na camada é conservada

$$N_{j} = \overline{N(z)} = N(o) \overline{\exp(D^{-1} \phi)}$$
 (B.8)

com

$$\frac{1}{\exp(D^{-1} \phi)} = \frac{1}{\lambda} \int_{-\lambda/2}^{\lambda/2} \exp\left[D^{-1} \int_{0}^{z} v(\xi) d\xi\right] dz$$
 (B.9)

onde λ \tilde{e} o "comprimento de onda" vertical do movimento.

Assim, a equação geral para o perfil de densidade eletrônica de equilíbrio é dada por

$$N(z) = N_{1} \frac{\exp(D^{-1} \phi)}{\exp(D^{-1} \phi)}$$
(B.10)

Quando um termo de excesso de recombinação infinitesimal é introduzido na solução da Equação B.l a forma do perfil não mudara pois con tinuara sendo determinada pelo balanço entre o drift induzido e a difusão, entretanto o nível absoluto de ionização será diferente. Agora este nível

 $ar{e}$ determinado pelo balanço de produção e recombinação de pares eletron-ion. Esse balanço $ar{e}$ expresso pela condição de que, sobre qualquer intervalo de altura no qual não haja fluxo líquido de ionização através de suas fronteiras, a "root-mean-square" da densidade eletrônica deve ser igual a N_o . Dessa forma tem-se

$$N_0 = [N^2(z)]^{1/2} = N(0) \{ exp (2 D^{-1} \phi) \}^{1/2}$$
 (B.11)

e o perfil de densidade eletrônica é dado por

$$N(z) = N_0 \frac{\exp(D^{-1} \Phi)}{\left(\exp(2D^{-1}\Phi)\right)^{1/2}}$$
(B.12)



COMPOSTO E IMPRESSO NA GRÁFICA DO INPE